

COMMITTENTE:



PROGETTAZIONE:



INFRASTRUTTURE FERROVIARIE STRATEGICHE DEFINITE DALLA LEGGE OBIETTIVO N. 443/01e s.m.i.



Progetto cofinanziato
dalla Unione Europea

CUP: J94F04000020001

U.O. CORPO STRADALE E GEOTECNICA

PROGETTO DEFINITIVO

ASSE FERROVIARIO MONACO - VERONA

**ACCESSO SUD ALLA GALLERIA DI BASE DEL BRENNERO
QUADRUPPLICAMENTO DELLA LINEA FORTEZZA - VERONA**

LOTTO 1: FORTEZZA – PONTE GARDENA

Studio idraulico Fiume Isarco

Relazione idraulica delle fasi di cantiere

SCALA:

-


COMMESSA LOTTO FASE ENTE TIPO DOC. OPERA/DISCIPLINA PROGR. REV.

I B L 1 1 0 D 1 1 R I I D 1 0 0 2 0 0 2 A

Rev.	Descrizione	Redatto	Data	Verificato	Data	Approvato	Data	Autorizzato Data
A	Emissione Definitiva	M.Coccatto	Marzo 2013		Marzo 2013		Marzo 2013	F. Sacchi Marzo 2013

INDICE

1	PREMESSA	3
2	INQUADRAMENTO GENERALE.....	5
3	ANALISI IDROLOGICA	7
4	STUDIO IDRAULICO	11
4.1	MODELLAZIONE IDRAULICA MONODIMENSIONALE	11
4.1.1	<i>Verifica idraulica con modello matematico in schema di moto permanente</i>	12
4.1.2	<i>Taratura dei modelli</i>	12
4.1.3	<i>Geometria del modello</i>	13
4.1.4	<i>Condizioni al contorno e coefficiente di scabrezza</i>	14
4.1.5	<i>Risultati</i>	15
	APPENDICE A - IL MODELLO MATEMATICO HEC-RAS.....	19
	APPENDICE B - RISULTATI DELLE SIMULAZIONI NUMERICHE RELATIVE ALLO STATO DI FATTO.....	28
	APPENDICE C - RISULTATI DELLE SIMULAZIONI NUMERICHE RELATIVE ALLA FASE DI CANTIERE	35
	APPENDICE D - RISULTATI GRAFICI DELLE SIMULAZIONI NUMERICHE RELATIVE ALLA FASE DI CANTIERE	

	QUADRUPPLICAMENTO DELLA LINEA FORTEZZA - VERONA ACCESSO SUD ALLA GALLERIA DI BASE DEL BRENNERO QUADRUPPLICAMENTO DELLA LINEA FORTEZZA - VERONA LOTTO 1: FORTEZZA – PONTE GARDENA					
	Studio idraulico Fiume Isarco - Relazione idraulica fasi di cantiere	COMMESSA IBL1	LOTTO 10	CODIFICA D 11 RI	DOCUMENTO ID 10 02 002	REV. A

1 PREMESSA

L'asse ferroviario Berlino-Verona / Milano-Bologna-Napoli-Messina-Palermo rappresenta, come da decisione n. 884/2004/CE del Parlamento Europeo e del Consiglio del 29 aprile 2004, il Progetto Prioritario TEN n° 1.

Il potenziamento di questo asse della rete ferroviaria transeuropea dovrà avvenire per fasi funzionali, da attivare in tempi diversi, secondo un programma di priorità degli interventi che dovrà essere definito in fase di progettazione definitiva, finalizzato ad un progressivo aumento della potenzialità dell'asse ferroviario Monaco – Verona in grado di corrispondere adeguatamente alla crescente domanda di traffico prevista. Tale strategia garantisce che gli alti investimenti necessari non rimangano inutilizzati per lunghi periodi.

La parte centrale, alpina, di questo Progetto Prioritario, è costituita dalla Linea di accesso Nord Monaco-Innsbruck, dalla Galleria di Base del Brennero e dalla Linea di accesso Sud Fortezza-Verona. Mentre nella Linea di accesso Nord e nella Galleria di Base del Brennero sono presenti tratti transfrontalieri, la Linea di accesso Sud è ubicata interamente in territorio italiano. Nell'ambito della Linea di accesso Sud le tratte Prioritarie, da potenziare con il quadruplicamento, nel territorio della Provincia Autonoma di Bolzano, sono le seguenti:

- a) Fortezza – Ponte Gardena;
- b) Prato Isarco – Bronzolo (Circonvallazione di Bolzano).

Italferr ha affidato a BETA Studio l'incarico di supporto nella redazione di elaborati tecnici relativi allo studio idrologico ed idraulico nell'ambito del "Progetto Definitivo - Lotto 1 Fortezza – Ponte Gardena". In particolare la presente relazione riporta lo studio idraulico del fiume Isarco a Ponte Gardena, con particolare riferimento all'interazione tra il corso d'acqua e le opere in progetto della linea ferroviaria.



Figura 1 – Isarco a Ponte Gardena



QUADRUPPLICAMENTO DELLA LINEA FORTEZZA - VERONA
ACCESSO SUD ALLA GALLERIA DI BASE DEL BRENNERO
QUADRUPPLICAMENTO DELLA LINEA FORTEZZA - VERONA
LOTTO 1: FORTEZZA – PONTE GARDENA

Studio idraulico Fiume Isarco - Relazione idraulica
fasi di cantiere

COMMESSA	LOTTO	CODIFICA	DOCUMENTO	REV.	FOGLIO
IBL1	10	D 11 RI	ID 10 02 002	A	4 di 42

Per la determinazione delle portate di piena di progetto nelle sezioni interessate dagli interventi si è fatto riferimento alle serie storiche delle portate massime annuali o dei livelli idrometrici massimi nelle stazioni di misura idrologicamente più significative. I valori di portata stimati e i relativi livelli idrici transitanti nel tratto di corso d'acqua rilevato, sono stati confrontati con i dati (portata e modello di simulazione dell'intero fiume Isarco) forniti dalla Provincia Autonoma di Bolzano, che costituisce, per il territorio interessato dai lavori, l'Autorità competente in materia di pianificazione idraulica (vedi relazione idrologica IBL110D11RIID0001001 A).

Lo studio idraulico ha compreso le seguenti fasi:

- perimetrazione del bacino del fiume Isarco a monte di Ponte Gardena mediante interpretazione della cartografia a disposizione e studio delle sue caratteristiche fisiografiche;
- stima delle portate di piena con differente periodo di ritorno in corrispondenza della sezione di chiusura di Ponte Gardena;
- modellazione idraulica monodimensionale mediante implementazione di 26 sezioni del tratto di fiume Isarco adiacente all'area oggetto di intervento, compreso il calcolo del trasporto solido;
- verifica delle aree interessate dal transito delle portate stimate e individuazione delle misure di salvaguardia e protezione, sia nella fase di realizzazione sia nello stato di progetto delle opere.

Per le simulazioni idrauliche e per il calcolo degli effetti locali si è utilizzato il programma di calcolo fluviale HEC-RAS, River Analysis System, versione 4.0 del marzo 2008 prodotto da US Army Corps of Engineers, Hydrologic Engineering Center (CA).

2 INQUADRAMENTO GENERALE

L'area di studio si trova all'interno del bacino idrografico del Fiume Isarco, per il quale l'autorità competente in materia di pianificazione idraulica è la Provincia Autonoma di Bolzano.

Il fiume Isarco (*Eisack*) è il principale affluente di sinistra dell'Adige nel territorio della Provincia di Bolzano, sia per lunghezza (95.5 km) che per le dimensioni del bacino (4202 km²), ed occupa l'intera parte orientale della provincia.



Figura 2 – Bacino del fiume Isarco chiuso a Ponte Gardena, perimetrato in verde

Il corso del fiume si sviluppa tra il Passo del Brennero e Bolzano, in un'angusta vallata caratterizzata dalla presenza dell'Autostrada A22, della statale SS.12 e della linea ferroviaria esistente.

Affluenti principali sono la Rienza (*Rienz*) che confluisce da sinistra poco a sud di Bressanone, il Rio Gardena e il torrente Talvera (*Talfer*), che si getta da destra nell'Isarco nei pressi di Bolzano.

Il punto più alto del vasto bacino dell'Isarco è rappresentato dal Gran Pilastro (*Hochfeiler* 3510 m s.m.m.) che domina la Val di Vizze a nord-est di Vipiteno.



QUADRUPPLICAMENTO DELLA LINEA FORTEZZA - VERONA
ACCESSO SUD ALLA GALLERIA DI BASE DEL BRENNERO
QUADRUPPLICAMENTO DELLA LINEA FORTEZZA - VERONA
LOTTO 1: FORTEZZA – PONTE GARDENA

Studio idraulico Fiume Isarco - Relazione idraulica
fasi di cantiere

COMMESSA	LOTTO	CODIFICA	DOCUMENTO	REV.	FOGLIO
IBL1	10	D 11 RI	ID 10 02 002	A	6 di 42

Il primo tratto di interazione con la nuova linea ferroviaria è costituito dall'interconnessione di Fortezza (quota 745 m s.m.m.), in corrispondenza del quale il bacino sotteso è di circa 660 km², con una lunghezza dell'asta principale di 39 km, ed un dislivello di 800m, dalla sorgente (2025 m s.m.m.).

Il tratto dell'interconnessione di Ponte Gardena, invece, costeggia l'Isarco per circa 2 km (quote comprese tra 480 e 465 m s.m.m.), ed il bacino sotteso a monte della confluenza del Rio Gardena è di 3200 km² (lunghezza dell'asta, circa 58.5 km).

3 ANALISI IDROLOGICA

Per la determinazione delle portate di piena si è fatto riferimento allo studio: *“Catasto aggiornato e georeferenziato delle opere idrauliche e di sistemazione idraulico-forestale nel bacino idrografico del Fiume Adige, delimitazione delle fasce fluviali, e definizione del quadro degli interventi strutturali e non strutturali”* effettuato dall’Autorità di Bacino Nazionale del Fiume Adige.

In particolare sono stati consultati i capitoli *“Caratterizzazione geomorfologica e idraulica del reticolo idrografico delle aree soggette ad allagamento”*, *“Aggiornamento e sistemazione dell’idrologia di piena”* e *“Delimitazione delle fasce fluviali e perimetrazione delle aree a rischio idrografico”*.

Per le aree di Fortezza e Ponte Gardena sono state utilizzate serie storiche delle portate nella stazione di Prà di Sopra (Isarco) fornite dal Servizio Idrografico della Provincia Autonoma di Bolzano.

Tabella 1 – Serie storica di altezze idrometriche e portate massime annuali alla stazione di Prà di Sopra

anno	h idrometrica [m]	Q max annuale [m³/s]
1963	2.02	115
1964	1.34	46
1965	1.44	56
1966	1.64	74
1967	2.04	118
1968	1.49	58
1969	1.73	83
1970	1.3	42.5
1971	1.68	76
1972	2.17	141
1973	2.7	201
1974	1.82	93
1975	1.88	99
1976	2.16	130
1977	1.9	90
1978	2.05	120
1979	2.23	142
1980	2.2	136
1981	3.05	260
1982	2	212
1983	1.9	100
1984	2.75	210
1985	2.2	139
1986	1.68	79

1987	1.49	57
1988	1.8	91
1989	1.56	64
1990	1.49	57

Tabella 2 – Regolarizzazione statistica secondo la distribuzione di Gumbel

TR (anni)	Q (mc/s)	h (m)
2	102	1.91
5	159	2.34
10	197	2.58
25	244	2.85
50	279	3.04
100	314	3.2
200	349	3.36
300	369	3.45
500	395	3.56

Per quanto riguarda le portate di piena sono stati regolarizzati i valori dei massimi storici annuali registrati nella stazione di Prà di Sopra (Oberau) tramite la distribuzione di Gumbel ottenendo i valori riportati nella seguente tabella. I valori di progetto ottenuti per le sezioni di interesse sono stati ottenuti, come indicato dallo studio redatto dall'Autorità di Bacino, tramite la relazione 1^1 sulla base della superficie dei bacini sottesi dalle due sezioni:

$$Q_x = \left(\frac{S_x}{S_s} \right)^m \quad (1)$$

nella quale sono indicate con S_x ed S_s rispettivamente le superfici sottese dalla sezione incognita e dalla sezione dell'idrometro (Prà di sopra, 652 km² nel caso in esame), con Q_x la portata incognita, e con m il coefficiente di potenza posto pari a 0.5.

Tabella 3 - Portate di progetto dell'Isarco a Fortezza e Ponte Gardena

TR	QPra di Sopra [m ³ /s]	QFortezza [m ³ /s]	QPonte Gardena [m ³ /s]
30	253	254.55	560.49

¹ Aggiornamento e sistemazione dell'idrologia di piena dell'idrologia di piena – “Studio finalizzato alla realizzazione, nel bacino del fiume Adige, del catasto aggiornato e georeferenziato delle opere idrauliche e di sistemazione idraulico forestale, alla delimitazione delle fasce fluviali, alla definizione degli interventi strutturali e non strutturali” – Autorità di Bacino del Fiume Adige

TR	QPra di Sopra [m³/s]	QFortezza [m³/s]	QPonte Gardena [m³/s]
100	314	315.92	695.63
200	349	351.13	773.17
300	369	371.26	817.48
500	395	397.42	875.08

I valori stimati relativi alle portate in corrispondenza della sezione di chiusura di Ponte Gardena (a monte della confluenza con il Rio Gardena) sono stati confrontati con i **dati di portata forniti dalla Provincia Autonoma di Bolzano** (Ufficio Opere Idrauliche), riportati in Tabella 4.

Tabella 4 – Portata Isarco a Ponte Gardena – dati forniti dalla Provincia Autonoma di Bolzano (Ufficio Opere Idrauliche)

TR	Q Isarco a monte confluenza Rio Gardena [m³/s]	Q Isarco a valle confluenza Rio Gardena [m³/s]
2	331.83	352.66
5	457.02	485.70
10	540.84	574.78
30	668.95	710.92
50	728.01	773.69
100	808.26	858.97
200	888.88	944.66
300	936.28	995.04

Dal confronto con la Tabella 3 è evidente che, per i diversi tempi di ritorno, le portate stimate dalla Provincia di Bolzano risultano superiori dell'ordine di circa 100 m³/s. Pertanto, a favore di sicurezza, si è ritenuto opportuno utilizzare, quale dato di base per la modellazione idraulica, i valori di portata forniti dalla Provincia Autonoma di Bolzano.

Inoltre, dal momento che l'intero intervento si sviluppa fino al punto di confluenza tra il Rio Gardena e l'Isarco, cautelativamente si è fatto riferimento per il calcolo idraulico alla portata del fiume Isarco a valle della confluenza del Rio Gardena.

Per la scelta del tempo di ritorno delle simulazioni si è fatto riferimento al rischio di superamento di un determinato evento meteorico, definito dalla seguente relazione:

$$R = 1 - (1 - 1/Tr)^N$$

dove:

- R = rischio di superamento di un determinato evento meteorico
- Tr = tempo di ritorno
- N = vita opera.

Il valore di rischio per l'opera finita, caratterizzata da supporre una vita utile di 100 anni e tempo di ritorno di riferimento di 200 anni, è pari a 0.39; accettando lo stesso valore di rischio dell'opera finita anche per la fase provvisoria, caratterizzata da una durata massima 1 anno, si ottiene un tempo di ritorno della fase provvisoria pari a 2.5 anni.




QUADRUPPLICAMENTO DELLA LINEA FORTEZZA - VERONA
ACCESSO SUD ALLA GALLERIA DI BASE DEL BRENNERO
QUADRUPPLICAMENTO DELLA LINEA FORTEZZA - VERONA
LOTTO 1: FORTEZZA – PONTE GARDENA

Studio idraulico Fiume Isarco - Relazione idraulica
fasi di cantiere

COMMESSA	LOTTO	CODIFICA	DOCUMENTO	REV.	FOGLIO
IBL1	10	D 11 RI	ID 10 02 002	A	10 di 42

Pertanto, a favore di sicurezza, le simulazioni relative alla fase di cantierizzazione fanno riferimento alla portata con tempo di ritorno 2 anni.

 ITALFERR GRUPPO FERROVIE DELLO STATO ITALIANE	QUADRUPPLICAMENTO DELLA LINEA FORTEZZA - VERONA ACCESSO SUD ALLA GALLERIA DI BASE DEL BRENNERO QUADRUPPLICAMENTO DELLA LINEA FORTEZZA - VERONA LOTTO 1: FORTEZZA – PONTE GARDENA					
	Studio idraulico Fiume Isarco - Relazione idraulica fasi di cantiere	COMMESSA IBL1	LOTTO 10	CODIFICA D 11 RI	DOCUMENTO ID 10 02 002	REV. A

4 STUDIO IDRAULICO


Lo studio idraulico è finalizzato alla determinazione dei livelli idrici del Fiume Isarco nei tratti in affiancamento alle opere provvisionali previste durante la fase di realizzazione.

4.1 Modellazione idraulica monodimensionale

Per la stima dei livelli idrici del Fiume Isarco nella zona oggetto di intervento, si è proceduto con una modellazione idraulica monodimensionale condotta su 26 sezioni trasversali estratte da un rilievo batimetrico condotto su una lunghezza complessiva dell'asta fluviale pari a circa 1975 m.



Figura 3 – Fiume Isarco : schema planimetrico della modellazione idraulica

 ITALFERR GRUPPO FERROVIE DELLO STATO ITALIANE	QUADRUPPLICAMENTO DELLA LINEA FORTEZZA - VERONA ACCESSO SUD ALLA GALLERIA DI BASE DEL BRENNERO QUADRUPPLICAMENTO DELLA LINEA FORTEZZA - VERONA LOTTO 1: FORTEZZA – PONTE GARDENA					
	Studio idraulico Fiume Isarco - Relazione idraulica fasi di cantiere	COMMESSA IBL1	LOTTO 10	CODIFICA D 11 RI	DOCUMENTO ID 10 02 002	REV. A

4.1.1 *Verifica idraulica con modello matematico in schema di moto permanente*

Le simulazioni numeriche sono state condotte utilizzando *HEC-RAS RIVER ANALYSYS SYSTEM (versione 4.0 del marzo 2008)*, un programma di calcolo monodimensionale a moto permanente che fornisce una adeguata rappresentazione del fenomeno, sviluppato dalla U.S. Army Corps of Engineers, Hydrologic Engineering Center, descritto in Appendice A.

4.1.2 *Taratura dei modelli*

Come per ogni modello matematico, anche nel caso del modello monodimensionale HEC-RAS la taratura ricopre un aspetto particolarmente delicato.

Il modello dovrebbe cioè essere tarato e validato prima di essere usato a scopo revisionale. In questo caso la taratura del modello numerico consiste nella valutazione dei coefficienti di scabrezza da adottare nelle differenti sezioni.

Tale operazione è caratterizzata da un notevole grado di incertezza dal momento che questi parametri presentano un ampio spettro di valori in dipendenza dello stato dell'alveo, dal grado di manutenzione e pulizia detto stesso, dalla presenza e dal tipo di vegetazione, dai cicli stagionali, dalla granulometria del fondo, ecc.

I dati di letteratura per le diverse condizioni ambientali sono fornite dalla Tabella 5. Occorre tener presente che questi valori sono comunque suscettibili di modificazioni per tenere conto degli effetti dissipativi legati a:

- perdite localizzate prodotte dall'interazione della corrente con irregolarità geometriche come presenza di ostacoli di vario genere, espansioni brusche, incisioni nelle golene, brusche variazioni di larghezza;
- perdite energetiche dovute alla modificazione del fondo dell'alveo, alla risospensione e trasporto solido, allo sradicamento e al trasporto di materiale vegetale.

Si preferisce dunque optare per dei coefficienti di scabrezza che tengano mediamente conto (vista la grande variabilità dei parametri) delle condizioni ambientali e restino moderatamente a favore di sicurezza.

Tipologia del corso d'acqua	Strickler $K_s = 1/n \text{ (m}^{1/3} \text{ s}^{-1}\text{)}$
CORSI D'ACQUA MINORI (Raggio idraulico ≤ 2 m; larghezza in piena < 30 m)	
Corsi d'acqua di pianura <ul style="list-style-type: none"> alvei con fondo compatto, senza irregolarità alvei regolari con vegetazione erbacea alvei con ciottoli e irregolarità modeste alvei fortemente irregolari 	45-40 30-35 25-30 25-15
Torrenti montani <ul style="list-style-type: none"> fondo alveo con prevalenza di ghiaia e ciottoli, pochi grossi massi alveo in roccia regolare fondo alveo con ciottoli e molti grossi massi alveo in roccia irregolare 	30-25 30-25 20-15 20-15
CORSI D'ACQUA MAGGIORI (Raggio idraulico ≥ 4 m; larghezza in piena > 30 m)	
<ul style="list-style-type: none"> sezioni con fondo limoso, scarpate regolari a debole copertura erbosa sezioni in depositi alluvionali, fondo sabbioso, scarpate regolari a copertura erbosa sezioni in depositi alluvionali, fondo regolare, scarpate irregolari con vegetazione arbustiva e arborea in depositi alluvionali, fondo irregolare, scarpate irregolari con forte presenza di vegetazione arbustiva e arborea 	45-40 35 25-30 20-25
AREE GOLENALI (Raggio idraulico ≥ 1 m)	
<ul style="list-style-type: none"> a pascolo, senza vegetazione arbustiva coltivate con vegetazione arbustiva spontanea con vegetazione arborea coltivata 	40-20 50-20 25-10 30-20
Alveo artificiale in terra	
<ul style="list-style-type: none"> materiale compatto, liscio sabbia compatta, con argilla o pietrisco sabbia e ghiaia, scarpata lastricata ghiaietto 10-30 mm ghiaia media 20-60 mm ghiaia grossa 50-150 mm limo in zolle grossa pietre sabbia, limo o ghiaia, con forte investimento vegetale 	60 50 50-45 45 40 35 30 30-25 25-20
Alveo artificiale in roccia	
<ul style="list-style-type: none"> con lavorazione accurata con lavorazione media con lavorazione grossolana 	30-25 25-20 20-15
Alveo artificiale in muratura	
<ul style="list-style-type: none"> muratura in pietra da taglio muratura accurata in pietra da cava muratura normale in pietra da cava pietre grossolanamente squadrate scarpate lastricate, fondo in sabbia e ghiaia 	80-70 70 60 50 50-45
Alveo artificiale in calcestruzzo	
<ul style="list-style-type: none"> pavimentazione in cemento calcestruzzo con casseforme metalliche calcestruzzo con intonaco calcestruzzo liscio 	100 100-90 95-90 90 90-80

Tabella 5 - Valori di scabrezza secondo la deliberazione n. 2/99, in data 11 maggio 1999 dell'Autorità di Bacino del Po.

4.1.3 Geometria del modello

La geometria utilizzata per implementare il modello numerico e per la definizione delle aree di potenziale allagamento è basata su un rilievo topografico sviluppato appositamente per il presente studio (Figura 3).

Le principali caratteristiche della geometria del modello sono così riassumibili:

- lunghezza totale tratto di studio: 1975 m;
- numero di sezioni trasversali rilevate: 26;

- numero di ponti/ponticelli/tombini: 1;
- pendenza media del corso d'acqua: 0.9% a monte, 0.02% a valle.

Tra i manufatti idraulici presenti in alveo si individua un unico ponte stradale (via Isarco).

Rispetto allo stato di progetto, le opere provvisorie vanno ad interessare il tratto compreso tra le sezioni 3 e 6, a monte della confluenza con il Rio Gardena. In particolare, per la realizzazione del muro di sostegno, si prevede di realizzare una banca di larghezza di circa 5.85 m e pendenza della sponda pari a 1:1.

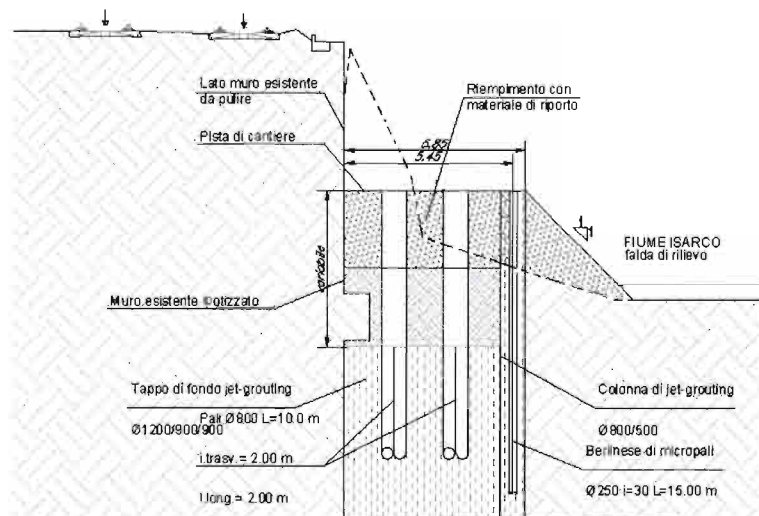


Figura 4 – Sezione tipo con banca provvisoria

4.1.4 Condizioni al contorno e coefficiente di scabrezza

Le simulazioni numeriche sono state condotte in condizione di “mixed flow”. Si sono quindi imposte condizioni al contorno sia sulla sezioni di monte, sia su quella di valle. A monte, oltre al valore di portata, è stata imposta la condizioni di moto uniforme nella forma della pendenza della linea dell’energia, considerata pari alla pendenza media del fondo. Medesima condizione al contorno è stata imposta nella sezione di valle.

Le verifiche idrauliche sono state effettuate per le portate corrispondenti a tempi di ritorno di 2, 5, 10, 30, 50, 100, 200 e 300 anni, pur assumendo come tempo di ritorno 2 anni di riferimento per le fasi di cantierizzazione.

Le portate associate ai tempi di ritorno indagati sono riportati nella seguente Tabella 6.

Il coefficiente di scabrezza secondo Manning impostato per le sezioni idrauliche nelle simulazioni è pari a **0.033** $\text{ms}^{-1/3}$ per quanto riguarda l’alveo e **0.035** $\text{ms}^{-1/3}$ per le sponde.

Tabella 6 – Portate dell'Isarco a valle della confluenza del Rio Gardena per diversi tempi di ritorno, applicate nel modello idraulico relativo alla fase di cantiere

TR	Q Isarco a valle confluenza Rio Gardena [m ³ /s]
2	352.66
5	485.70
10	574.78
30	710.92
50	773.69
100	858.97
200	944.66
300	995.04

4.1.5 Risultati

La Figura 5 e la Figura 6 riportano i risultati ottenuti relativi allo stato di fatto e alla fase di cantierizzazione per tempo di ritorno di 2 anni e 200 anni rispettivamente: le differenze in termini di livello, dell'ordine del centimetro, si registrano solo in corrispondenza del tratto interessato dall'intervento. Gli stessi risultati sono riportati in forma tabellare in Tabella 7 e Tabella 8. In Appendice D sono riportati tutti i risultati del modello idraulico ottenuti relativi alla fase di cantierizzazione per tutti i tempi di ritorno indagati.

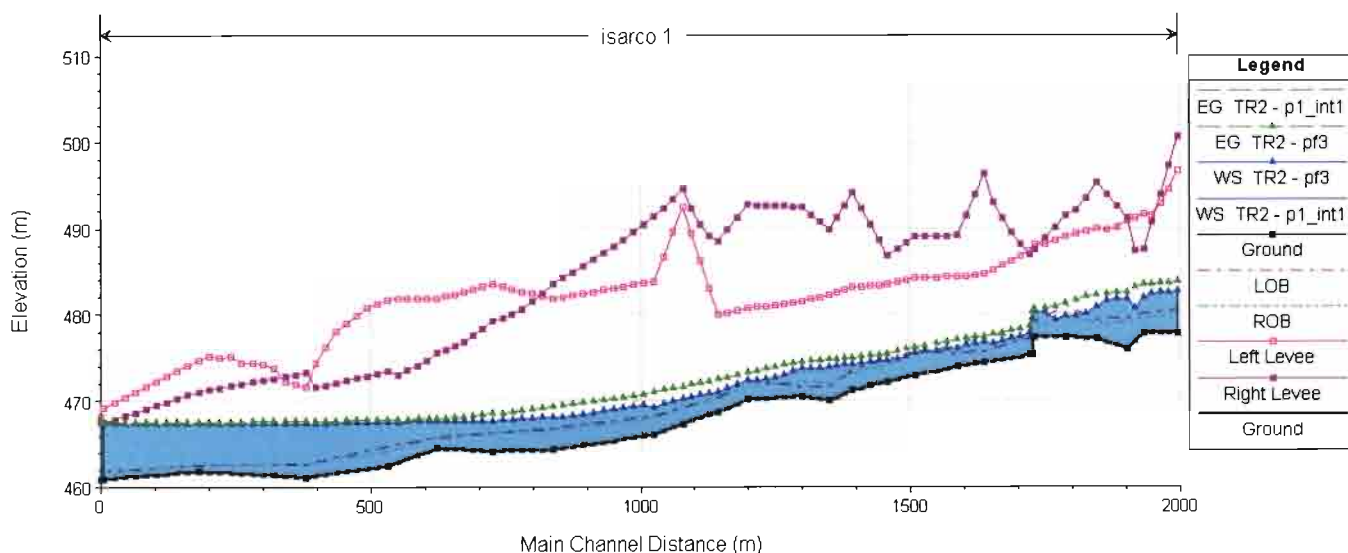


Figura 5 – Profilo ottenuto dal modello idraulico per le simulazioni TR 2 anni, stato di fatto e fase provvisoria: le differenze sono dell'ordine del centimetro nel tratto interessato dalla banca provvisoria.

Tabella 7 - Risultati simulazioni Tr 2 anni ($Q=352.66 \text{ m}^3/\text{s}$): stato di fatto, fase provvisoria e differenza

River Sta	Min Ch El (m)	stato di fatto							fase provvisoria							W.S. Elev Diff. fp - sdf
		W.S. Elev (m)	Crit W.S. (m)	E.G. Elev (m)	Vel Chnl (m/s)	Flow Area (m^2)	Fr	W.S. Elev (m)	Crit W.S. (m)	E.G. Elev (m)	Vel Chnl (m/s)	Flow Area (m^2)	Top Width (m)	Fr		
26	477.83	482.67	482.07	483.69	4.5	81.81	0.74	482.67	482.07	483.69	4.5	81.81	25.58	0.74	0	
25	477.84	481.94	481.94	483.35	5.32	69.16	0.97	481.94	481.94	483.35	5.32	69.16	25.7	0.97	0	
24	475.95	481.76	480.62	482.51	3.87	95.1	0.6	481.76	480.62	482.51	3.87	95.1	26.43	0.6	0	
23	477.14	480.89	480.89	482.24	5.19	69.82	0.97	480.89	480.89	482.24	5.19	69.82	27.74	0.97	0	
22	477.39	479.76	480.08	481.21	5.34	66.09	1.26	479.76	480.08	481.21	5.34	66.09	36.43	1.26	0	
21	477.27	480.16	479.46	480.52	2.68	133.44	0.57	480.16	479.46	480.52	2.68	133.44	60.91	0.57	0	
20.5															0	
20	475.29	477.73	477.73	478.49	3.86	91.48	1	477.73	477.73	478.49	3.86	91.48	60.31	1	0	
19	474.42	476.77	476.53	477.39	3.52	101.19	0.82	476.77	476.53	477.39	3.52	101.19	55.34	0.82	0	
18	473.93	475.94	476.16	476.96	4.58	81.63	1.17	475.94	476.16	476.96	4.58	81.63	62.23	1.17	0	
17	472.95	475.44	475.44	476.11	3.61	97.73	1	475.44	475.44	476.11	3.61	97.73	73.1	1	0	
16	472.19	474.55	474.69	475.42	4.13	85.54	1.15	474.55	474.69	475.42	4.13	85.54	65.99	1.15	0	
15	471.24	474.18	473.91	474.92	3.82	93.09	0.81	474.18	473.91	474.92	3.82	93.09	43.56	0.81	0	
14	469.99	473.85	473.51	474.69	4.16	91.81	0.76	473.85	473.51	474.69	4.16	91.81	39.72	0.76	0	
13	470.49	473.67	473.44	474.41	4.04	98.08	0.78	473.67	473.44	474.41	4.04	98.08	46.06	0.78	0	
12	470.11	472.3	472.32	473.16	4.12	85.81	1.01	472.3	472.32	473.16	4.12	85.81	51.19	1.01	0	
11	468.7	470.96	471.3	472.4	5.33	66.77	1.28	470.96	471.3	472.4	5.33	66.77	39.42	1.28	0	
10	467.35	470.22	470.44	471.61	5.25	68.4	1.13	470.22	470.44	471.61	5.25	68.4	33.98	1.13	0	
9	466.08	469.19	469.65	470.92	5.92	62.68	1.27	469.19	469.65	470.92	5.92	62.68	34.35	1.27	0	
8	464.35	468.07	467.97	469.2	4.74	76.38	0.92	468.07	467.97	469.2	4.74	76.41	31.42	0.92	0	
7	464.15	467.57	467.49	468.44	4.19	88.66	0.88	467.58	467.49	468.44	4.17	89.09	48.47	0.87	0.01	
6	464.54	467.55	466.69	467.9	2.65	137.59	0.53	467.56	466.69	467.91	2.64	137.19	57.83	0.52	0.01	
							0.41	467.59	466.37	467.87	2.36	153.71	56.74	0.44		
5	462.47	467.44	465.76	467.75	2.55	148.49	0.34	467.44	465.76	467.76	2.56	146.57	44.74	0.41	0	
4	461.13	467.34	464.9	467.61	2.47	165.38	0.26	467.34		467.61	2.46	166.28	39.72	0.34	0	
3	461.81	467.31	464.37	467.47	1.86	211.38	0.19	467.3	464.39	467.47	1.94	199.26	43.47	0.27	-0.01	
2	460.95	467.3	463.42	467.4	1.46	270.09		467.3	463.42	467.4	1.46	270.09	49.95	0.19	0	
1							0.18								0	
0.1	460.88	467.29	463.37	467.39	1.41	266.5	0.18	467.29	463.37	467.39	1.41	266.5	53.05	0.18	0	
0.05	460.88	467.29	463.37	467.39	1.41	266.43		467.29	463.37	467.39	1.41	266.43	48.43	0.18	0	

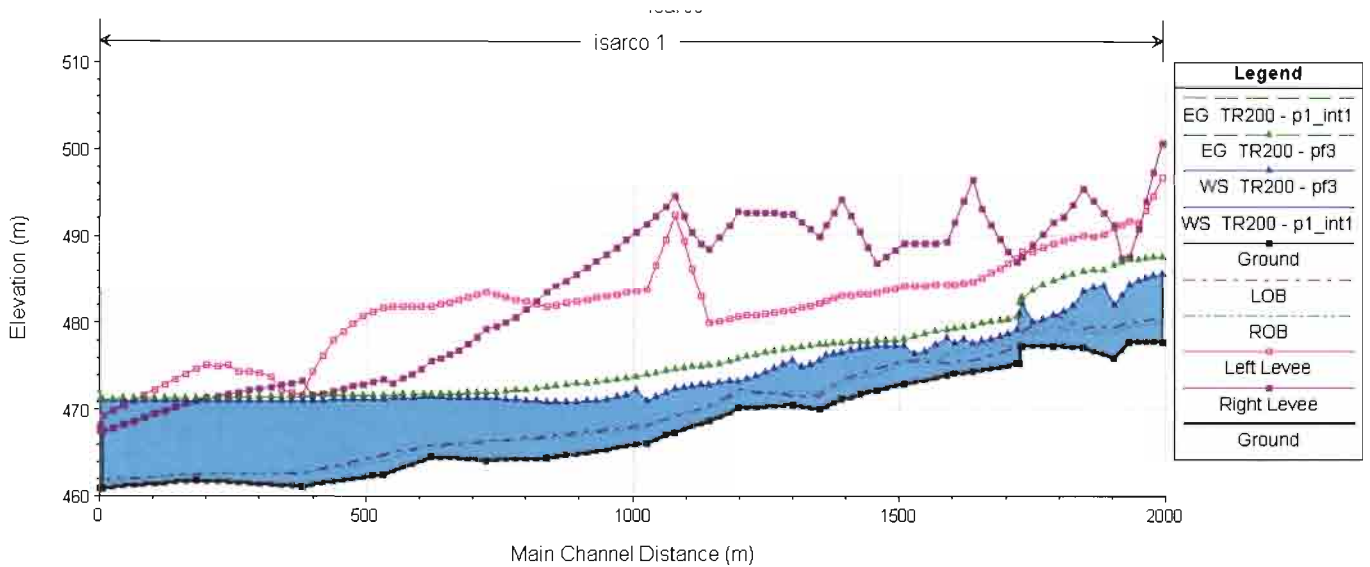


Figura 6 – Profilo ottenuto dal modello idraulico per le simulazioni TR 200 anni, stato di fatto e fase provvisoria: le differenze variano da 1 a 5 cm nel tratto interessato dalla banca provvisoria.

Tabella 8 - Risultati simulazioni Tr 200 anni ($Q=944.66 \text{ m}^3/\text{s}$): stato di fatto, fase provvisoria e differenza

River Sta	Min Ch El (m)	stato di fatto							fase provvisoria							W.S. Elev Diff. fp - sdf
		W.S. Elev (m)	Crit W.S. (m)	E.G. Elev (m)	Vel (m/s)	Flow Area (m^2)	Fr	W.S. Elev (m)	Crit W.S. (m)	E.G. Elev (m)	Vel (m/s)	Flow Area (m^2)	Top Width (m)	Fr		
26	477.83	485.46	484.92	487.52	6.56	160.57	0.82	485.46	484.92	487.52	6.56	160.57	31.34	0.82	0	
25	477.84	484.33	484.45	487.15	7.66	135.22	1.05	484.33	484.45	487.15	7.66	135.22	29.51	1.05	0	
24	475.95	482.09	483.42	486.65	9.58	103.69	1.44	482.09	483.42	486.65	9.58	103.69	26.97	1.44	0	
23	477.14	483.5	483.5	485.82	6.94	149.27	0.94	483.5	483.5	485.82	6.94	149.27	33.91	0.94	0	
22	477.39	480.89	482.09	484.83	8.82	108.17	1.64	480.89	482.09	484.83	8.82	108.17	39.78	1.64	0	
21	477.27	482.12	480.93	482.82	3.75	263.38	0.58	482.12	480.93	482.82	3.75	263.38	69.56	0.58	0	
20.5															0	
20	475.29	479.16	479.16	480.6	5.32	179.53	0.99	479.16	479.16	480.6	5.32	179.53	63.28	0.99	0	
19	474.42	477.63	478.08	479.66	6.35	151.35	1.24	477.63	478.08	479.66	6.35	151.35	60.37	1.24	0	
18	473.93	478.24	477.56	479.08	4.29	239.53	0.7	478.24	477.56	479.08	4.29	239.53	72.81	0.7	0	
17	472.95	477.28	476.68	478.09	4.01	237.4	0.72	477.28	476.68	478.09	4.01	237.4	78.14	0.72	0	
16	472.19	477.28	476.02	477.89	3.47	280.76	0.55	477.28	476.02	477.89	3.47	280.76	77.06	0.55	0	
15	471.24	476.56	475.84	477.68	4.76	211.96	0.71	476.56	475.84	477.68	4.76	211.96	57.74	0.71	0	
14	469.99	475.66	475.66	477.45	6.29	172.58	0.91	475.66	475.66	477.45	6.29	172.58	48.18	0.91	0	
13	470.49	475.6	475.2	476.97	5.61	191.26	0.83	475.6	475.2	476.97	5.61	191.26	50.54	0.83	0	
12	470.11	473.18	473.91	475.83	7.22	131.85	1.44	473.18	473.91	475.83	7.22	131.85	53.06	1.44	0	
11	468.7	472.83	473.22	475.09	6.75	146.4	1.13	472.83	473.22	475.09	6.75	146.4	45.73	1.13	0	
10	467.35	472.29	472.62	474.58	6.88	147.62	1.06	472.29	472.62	474.58	6.88	147.62	42.19	1.06	0	
9	466.08	470.89	471.77	473.98	8.16	129.81	1.32	470.89	471.77	473.98	8.16	129.81	44.33	1.32	0	
8	464.35	470.71	470.37	472.46	6.05	170.76	0.83	470.76	470.37	472.47	5.99	172.76	40.22	0.82	0.05	
7	464.15	471.24	469.33	471.82	3.59	298.84	0.47	471.28	469.33	471.84	3.56	301.07	61.85	0.46	0.04	
6	464.54	471.3	468.27	471.65	2.69	379.08	0.34	471.34	468.27	471.68	2.68	381.34	67.39	0.34	0.04	
								471.35	467.96	471.66	2.53	396.67	67.84	0.31		
5	462.47	471.13	467.84	471.58	3.14	343.01	0.36	471.12	467.83	471.59	3.2	332.5	53.89	0.37	-0.01	




QUADRUPPLICAMENTO DELLA LINEA FORTEZZA - VERONA
ACCESSO SUD ALLA GALLERIA DI BASE DEL BRENNERO
QUADRUPPLICAMENTO DELLA LINEA FORTEZZA - VERONA
LOTTO 1: FORTEZZA – PONTE GARDENA

Studio idraulico Fiume Isarco - Relazione idraulica
fasi di cantiere

COMMESSA	LOTTO	CODIFICA	DOCUMENTO	REV.	FOGLIO
IBL1	10	D 11 RI	ID 10 02 002	A	18 di 42

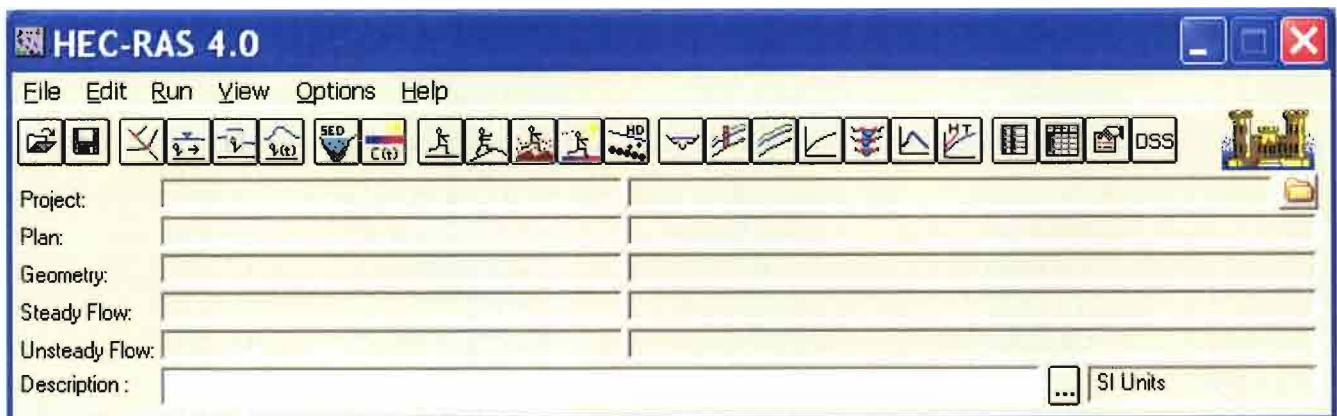
4	461.13	470.91	467.16	471.45	3.64	322.29	0.39	470.91	471.46	3.66	320.54	50.29	0.39	0	
3	461.81	470.92	466.33	471.27	2.84	412.92	0.3	470.9	466.43	471.27	2.9	400.99	73.58	0.31	-0.02
2	460.95	470.99	465.13	471.15	2.03	619.51	0.21	470.99	465.13	471.15	2.03	619.51	109.06	0.21	0
1															0
0.1	460.88	470.99	465.12	471.14	1.94	628.45	0.2	470.99	465.12	471.14	1.94	628.45	110.36	0.2	0
0.05	460.88	470.99	465.12	471.14	1.94	628.45	0.2	470.99	465.12	471.14	1.94	628.45	110.36	0.2	0

 ITALFERR GRUPPO FERROVIE DELLO STATO ITALIANE	QUADRUPPLICAMENTO DELLA LINEA FORTEZZA - VERONA ACCESSO SUD ALLA GALLERIA DI BASE DEL BRENNERO QUADRUPPLICAMENTO DELLA LINEA FORTEZZA - VERONA LOTTO 1: FORTEZZA – PONTE GARDENA					
	Studio idraulico Fiume Isarco - Relazione idraulica fasi di cantiere	COMMESSA IBL1	LOTTO 10	CODIFICA D 11 RI	DOCUMENTO ID 10 02 002	REV. A

APPENDICE A - IL MODELLO MATEMATICO HEC-RAS

Il modello di simulazione HEC-RAS (River Analysis System) è stato inizialmente sviluppato dall'US Army Corps of Engineers, Hydrologic Engineering Center, di Davis (USA) per lo studio idrodinamico nelle reti di canali aperti, attraverso la ricostruzione dei profili idraulici di moto permanente in regime subcritico e supercritico, operando nell'ipotesi di monodimensionalità del flusso. Fino alla versione 2.x HEC-RAS rappresentava l'evoluzione del noto modello HEC-2 (HEC, 1991) con l'aggiunta di numerose funzioni e strumenti di analisi nonché di una sofisticata interfaccia grafica operante in ambiente Windows.


In seguito, a partire dalla versione 3.0 (HEC, 2001), HEC-RAS è stato integrato con gli algoritmi di calcolo del modello idraulico UNET One-Dimensional Unsteady Flow Through a Full Network of Open Channels (Robert L. Barkau, 1992 and HEC, 1997) che consentono di simulare il comportamento della corrente in moto vario per il solo regime subcritico.



L'integrazione dei due modelli è avvenuta previa realizzazione di una particolare versione del modello UNET capace di condividere i medesimi algoritmi di analisi delle strutture idrauliche presenti nella libreria di HEC-RAS. In questo modo è stato possibile unificare la struttura dei dati che provvede alla definizione geometrica del corso d'acqua rendendo condivisibile la stessa interfaccia grafica sia per l'inserimento dati che per la visualizzazione dei risultati.

Attualmente il modello costituisce un sistema integrato per l'analisi idraulica di reti di canali a maglie aperte e chiuse, operante in regime di moto permanente e vario, che sfrutta le medesime informazioni relative alla geometria dei corsi d'acqua e dei manufatti idraulici presenti. Nonostante ciò la simulazione dei due fenomeni, essendo notevolmente diversi tra loro, avviene sfruttando principi teorici e schemi di calcolo differenti e pertanto si farà loro riferimento come a due distinti modelli idraulici.

IPOTESI DI FUNZIONAMENTO E CAPACITÀ DI CALCOLO

	<p>QUADRUPPLICAMENTO DELLA LINEA FORTEZZA - VERONA</p> <p>ACCESSO SUD ALLA GALLERIA DI BASE DEL BRENNERO</p> <p>QUADRUPPLICAMENTO DELLA LINEA FORTEZZA - VERONA</p> <p>LOTTO 1: FORTEZZA – PONTE GARDENA</p>												
<p>Studio idraulico Fiume Isarco - Relazione idraulica fasi di cantiere</p>	<table border="1"> <thead> <tr> <th>COMMESSA</th> <th>LOTTO</th> <th>CODIFICA</th> <th>DOCUMENTO</th> <th>REV.</th> <th>FOGLIO</th> </tr> </thead> <tbody> <tr> <td>IBL1</td> <td>10</td> <td>D 11 RI</td> <td>ID 10 02 002</td> <td>A</td> <td>20 di 42</td> </tr> </tbody> </table>	COMMESSA	LOTTO	CODIFICA	DOCUMENTO	REV.	FOGLIO	IBL1	10	D 11 RI	ID 10 02 002	A	20 di 42
COMMESSA	LOTTO	CODIFICA	DOCUMENTO	REV.	FOGLIO								
IBL1	10	D 11 RI	ID 10 02 002	A	20 di 42								

Obiettivo principale del modello, utilizzato ipotizzando un regime di moto permanente, è quello di correlare l'entità della portata liquida in arrivo dal bacino di monte con le velocità e con l'altezza idrometrica raggiunta nell'alveo principale e nelle golene. Il suo utilizzo nell'ipotesi di moto vario aggiunge la capacità di analizzare i fenomeni di propagazione di un'onda di piena e valutare gli effetti di laminazione dovuti alla naturale conformazione del corso d'acqua o alla presenza di dispositivi artificiali.

La determinazione dei parametri fisici che descrivono il deflusso all'interno di una sezione d'alveo si basa sulle seguenti ipotesi semplificative:

- moto gradualmente vario;
- moto monodimensionale;
- perdite di fondo mediamente costanti fra due sezioni trasversali adiacenti;
- arginature e geometria del fondo fisse.

Nonostante la prima ipotesi è possibile valutare anche i fenomeni di moto fortemente variato a condizione di inserire opportune condizioni al contorno interne come descritto più avanti. L'errore dovuto all'imposizione di una perdita di fondo costante nel tratto compreso tra due sezioni adiacenti può essere limitata mediante l'introduzione di ulteriori sezioni ottenute per interpolazione.

Il modello simula il moto gradualmente vario monodimensionale in una rete di canali a pelo libero e può essere applicato per la soluzione di sistemi dalla geometria complessa che includono congiunzioni, biforcazioni, reti chiuse, ecc... Inoltre è consentita l'implementazione di numerose condizioni interne ed esterne che consentono la simulazione degli effetti dovuti alla presenza di paratoie, sistemi di pompaggio, ponti, salti di fondo, ecc..

Il modello è dotato di ulteriori algoritmi che permettono di indagare in dettaglio alcuni fenomeni di interesse nell'ingegneria idraulica. Possono essere studiati i fenomeni erosivi intorno alle pile e alle spalle dei ponti non plateati, valutati gli effetti della parziale ostruzione di una sezione di deflusso a causa dei depositi alluvionali (ipotizzati costanti durante una simulazione) e può essere considerata l'eventuale formazione di ghiaccio sulla superficie liquida valutando i suoi effetti sul profilo idraulico. Inoltre, pur operando nell'ipotesi di monodimensionalità, il modello consente la ricostruzione dell'andamento della velocità all'interno di una stessa sezione di deflusso, distinguendo tra zone spondali e canale centrale, in funzione della variazione di scabrezza e di tirante idraulico.

Si descrivono di seguito i principali fondamenti teorici su cui si basa il modello limitandoci al modulo dedicato alla soluzione del problema del moto permanente.

DEFINIZIONE DEI PARAMETRI FONDAMENTALI

Il modello utilizza, all'interno dei suoi algoritmi di calcolo, elementi dell'idraulica dei canali a pelo libero. Si ritiene opportuno, quindi, prima di procedere oltre, inserire alcuni elementi per meglio chiarire il funzionamento del modello stesso.

Moto permanente e vario



QUADRUPPLICAMENTO DELLA LINEA FORTEZZA - VERONA
ACCESSO SUD ALLA GALLERIA DI BASE DEL BRENNERO
QUADRUPPLICAMENTO DELLA LINEA FORTEZZA - VERONA
LOTTO 1: FORTEZZA – PONTE GARDENA

Studio idraulico Fiume Isarco - Relazione idraulica
fasi di cantiere

COMMESSA	LOTTO	CODIFICA	DOCUMENTO	REV.	FOGLIO
IBL1	10	D 11 RI	ID 10 02 002	A	21 di 42

Il criterio di distinzione fra i due tipi di moto è il loro andamento nei confronti della variabile “tempo”. Se profondità, velocità e portata rimangono costanti nel tempo in una determinata sezione di un corso d’acqua, il moto è permanente; se una di queste caratteristiche varia, il moto è vario. Il passaggio di un’onda di piena lungo un tronco d’alveo è un esempio di moto vario perché profondità, velocità e portata cambiano nel tempo.

La ragione per cui un modello di moto permanente può essere usato per il moto vario, come è da considerarsi a rigore un’onda di piena, sta nella lentezza con cui l’onda cresce e si esaurisce. Un ipotetico osservatore sulla sponda di un corso d’acqua non è infatti in grado di apprezzare la curvatura dell’onda e non apprezza le variazioni istantanee di livello che si verificano.

Eccetto quindi casi estremi, la variazione di portata avviene gradualmente e i risultati ottenuti usando metodi analitici per moto permanente sono ugualmente di buona qualità.

Moto uniforme e vario

Quando il moto è uniforme, profondità e velocità sono costanti lungo un tratto di canale. La forza di gravità provoca il movimento dell’acqua, in equilibrio con gli attriti. Il moto non è accelerato né decelerato. Per un canale naturale non si può parlare di moto uniforme in senso stretto, perché la geometria delle sezioni trasversali e l’area bagnata variano lungo il canale, causando accelerazioni e decelerazioni del moto. A rigore il moto uniforme è possibile solo in un canale prismatico con sezione e pendenza costanti. D’altra parte è considerato corretto assumere che il moto sia uniforme quanto il pelo libero è approssimativamente parallelo al fondo del canale; in tal caso si assume che anche la linea dell’energia sia parallela al fondo.


Nel caso di moto vario profondità e velocità cambiano con la distanza lungo il canale; si può distinguere tra moto “gradualmente vario” quando le variazioni nell’altezza del pelo libero avvengono in una distanza relativamente lunga e modo “rapidamente vario” se le variazioni sono brusche.

Quest’ultima distinzione è importante in quanto HEC-RAS calcola i profili solamente in situazioni di moto gradualmente vario.

Moto subcritico e supercritico

Il moto in un canale a pelo libero può essere classificato come subcritico, supercritico o critico. La determinazione del tipo di moto secondo questa classificazione è di fondamentale importanza nell’utilizzo del modello, perché cambia il verso in cui si procede nello studio del profilo idraulico partendo da una delle due estremità del tratto d’alveo in esame.

Le perturbazioni che interessano la superficie liquida, infatti, si propagano verso monte nel caso di moto subcritico ma non nel caso di moto supercritico, e ciò risulta fondamentale nella scelta del punto di partenza nel calcolo del profilo idraulico. Una delle prime operazioni da fare è quindi la determinazione del tipo di moto che si sviluppa nel tratto oggetto dell’indagine condotta con il modello.

 ITALFERR GRUPPO FERROVIE DELLO STATO ITALIANE	QUADRUPPLICAMENTO DELLA LINEA FORTEZZA - VERONA ACCESSO SUD ALLA GALLERIA DI BASE DEL BRENNERO QUADRUPPLICAMENTO DELLA LINEA FORTEZZA - VERONA LOTTO 1: FORTEZZA – PONTE GARDENA					
	Studio idraulico Fiume Isarco - Relazione idraulica fasi di cantiere	COMMESSA IBL1	LOTTO 10	CODIFICA D 11 RI	DOCUMENTO ID 10 02 002	REV. A

Per definire il punto di separazione fra moto subcritico e supercritico viene utilizzato il numero adimensionale di Froude, rapporto fra le forze gravitazionali e le forze inerziali:

$$Fr = \frac{V}{\sqrt{gD}}$$

Dove:

- V = velocità media Q/A [m/s]
- g = accelerazione di gravità [m/s²]
- D = raggio idraulico [m]

Se il numero di Froude risulta minore di 1, il moto è subcritico, se invece è superiore, il moto è supercritico; se risulta uguale a 1, il moto è critico e la situazione è di particolare instabilità.

Questa definizione del numero di Froude ipotizza che ci sia una distribuzione uniforme di velocità nella sezione. Per un canale simmetrico, rettangolare, triangolare, trapezoidale, ecc., questo presupposto si realizza, ma nel caso di un canale naturale, con sezioni irregolari e aree golenali, l'espressione data non è più valida e non può essere rigorosamente utilizzata per determinare il tipo di moto; in questo caso sarebbe più corretto utilizzare dei numeri di Froude particolari, che tengano conto delle variazioni geometriche, di velocità e di portata.

La ricerca di questi particolari numeri di Froude va effettuata caso per caso, consultando eventualmente la letteratura esistente.


Il modello, comunque, effettua al suo interno le necessarie approssimazioni e ridefinizioni del valore di questo parametro.

Altezza critica

L'altezza critica è una caratteristica molto importante per il moto, dato che, come già accennato, rappresenta un criterio per discriminare i vari regimi di moto. Il moto che si sviluppa con un'altezza pari, o vicina, all'altezza critica è chiamato moto critico; questa situazione è molto instabile poiché una piccola variazione di energia specifica causa grandi variazioni di livello. L'energia specifica H di una sezione trasversale è l'energia riferita al punto più basso del tratto in esame; è quindi la somma della profondità y e del termine $V^2/2g$:

$$H = y + \frac{V^2}{2g}$$

La determinazione dell'altezza critica viene complicata dalla distribuzione delle velocità che ci si trova ad avere in sezioni irregolari, associate a flusso nelle golene. Il contributo cinetico nell'equazione dell'energia specifica deve quindi essere corretto tramite un moltiplicatore α di Coriolis. Si ha quindi:

 ITALFERR GRUPPO FERROVIE DELLO STATO ITALIANE	QUADRUPPLICAMENTO DELLA LINEA FORTEZZA - VERONA ACCESSO SUD ALLA GALLERIA DI BASE DEL BRENNERO QUADRUPPLICAMENTO DELLA LINEA FORTEZZA - VERONA LOTTO 1: FORTEZZA – PONTE GARDENA					
	Studio idraulico Fiume Isarco - Relazione idraulica fasi di cantiere	COMMESSA IBL1	LOTTO 10	CODIFICA D 11 RI	DOCUMENTO ID 10 02 002	REV. A

$$H = y + \alpha \frac{V^2}{2g}$$

In HEC-RAS, l'altezza critica relativa ad una sezione viene determinata ricercando il minimo dell'energia specifica. La ricerca viene fatta con un procedimento iterativo partendo da un valore WS di primo tentativo al quale ne consegue un valore di energia specifica dato dalla precedente equazione, che verrà poi corretto fino alla determinazione del WS in grado di garantire il minimo valore di H.

HEC-RAS può calcolare l'andamento di profili subcritici e supercritici. Viene però richiesto all'utente di specificare il regime di moto all'atto del setup dell'applicazione. Se si verifica il caso di avere la presenza dei due regimi nel tronco oggetto di studio, diventa necessario suddividere il tronco in tratti in cui si abbia presenza di un solo regime di moto. Nel punto in cui avviene il passaggio tra un regime e l'altro, infatti, HEC-RAS non effettuerà il calcolo attraverso l'altezza critica, ma assumerà al limite un'altezza pari a quella critica.

PROCEDURE DI CALCOLO PER SIMULAZIONI IN MOTO PERMANENTE

Come già anticipato il regime di moto permanente ipotizza l'invariabilità nel tempo t della portata Q che attraversa una sezione d'alveo di area A . Di conseguenza tutti i parametri idraulici che definiscono le caratteristiche di una corrente risultano invariabili nel tempo. Il regime di moto resta comunque libero di modificarsi lungo la dimensione spaziale non escludendo la possibilità di assegnare portate diverse ai differenti tratti del corso d'acqua e di studiare gli effetti delle immissioni di portata laterali concentrate e distribuite.

La determinazione del profilo idraulico avviene risolvendo l'equazione del bilancio dell'energia espresso secondo la formulazione di Manning:

$$Q = \frac{1}{n} AR^{2/3} S_f^{1/2}$$

- S_f = pendenza relativa alle perdite di carico distribuite;
- R = raggio idraulico;
- n = coefficiente di scabrezza di Manning.

L'equazione viene risolta per ogni tratto delimitato da due sezioni trasversali consecutive utilizzando lo "standard step method", tecnica numerica che, una volta nota l'energia in corrispondenza di una sezione, permette il calcolo della velocità e del tirante idraulico della sezione adiacente.

Determinazione della distribuzione del moto in una sezione trasversale

E' stato precedentemente introdotto il significato del coefficiente di Coriolis utilizzato per tener conto della non uniforme distribuzione spaziale della velocità all'interno di una stessa sezione trasversale d'alveo. Per la determinazione del suo valore nel caso di una sezione naturale, o comunque irregolare, è necessario conoscere come si suddivide la portata, ossia quanta fluisce nel canale propriamente detto e quanta nelle zone golenali. Viene a questo scopo utilizzata l'equazione di Manning:

$$V = \frac{1.486}{n} AR^{2/3} S_f^{1/2}, \quad Q = VA = \frac{1.486}{n} AR^{2/3} S_f^{1/2}$$

Ponendo quindi: $K = \text{trasporto} = \frac{1.486}{n} AR^{2/3}$ si ha che:

$$Q = KS_f^{1/2}$$

che viene scritta per ognuna delle i-esime sezioni considerate.

In HEC-RAS, il raggio idraulico R di una subarea è calcolato dividendo l'area per il perimetro bagnato. Il confine d'acqua immaginario tra due subaree viene trascurato

Tramite alcuni passaggi si trova che:

$$\alpha = \frac{(\sum A_i)^2 (\sum K_i^3 / A_i^2)}{(\sum K_i)^3}$$

Distribuzione delle pressioni in una sezione trasversale

Come già detto, una delle ipotesi di base nel calcolo del profilo da parte di HEC-RAS è la distribuzione idrostatica delle pressioni. Si può assumere che la pressione sia idrostatica in un fluido in movimento se le linee di corrente sono essenzialmente dritte e parallele. La maggior parte dei canali naturali con moto gradualmente vario rispetta queste condizioni, non rispettate invece nel caso di moto rapidamente vario.

Calcolo dei profili idraulici

Il calcolo dei profili idraulici avviene in due fasi tra loro intimamente collegate: bilancio dell'energia e conseguente calcolo del profilo.

Bilancio dell'energia

La perdita di energia fra due sezioni trasversali, prese perpendicolarmente al flusso, è la base per il calcolo del profilo idraulico. L'energia totale, in termini di altezza, è uguale alla somma dei contributi dovuti alla quota, alla pressione e al termine cinetico. Se q rappresenta la pendenza del fondo si ha che:

$$E = Z + d \cos \theta + \alpha \frac{V^2}{2g}$$

Il termine $\cos \alpha$ è comunemente assunto uguale a 1 per canali naturali. Si può comprendere come comunque si compia un errore molto basso imponendo questa semplificazione considerando che per una pendenza di fondo di



QUADRUPPLICAMENTO DELLA LINEA FORTEZZA - VERONA
ACCESSO SUD ALLA GALLERIA DI BASE DEL BRENNERO
QUADRUPPLICAMENTO DELLA LINEA FORTEZZA - VERONA
LOTTO 1: FORTEZZA – PONTE GARDENA

Studio idraulico Fiume Isarco - Relazione idraulica
fasi di cantiere

COMMESSA	LOTTO	CODIFICA	DOCUMENTO	REV.	FOGLIO
IBL1	10	D 11 RI	ID 10 02 002	A	25 di 42

1:10, molto elevata, $\cos \varphi$ è uguale a 0.99. L'errore compiuto in questo caso, definibile estremo, considerandolo uguale a 1 è del 1%, e quindi, nel complesso, trascurabile.

Con riferimento all'equazione dell'energia appena scritta, si può riscriverla nel caso sia applicata tra due sezioni:

$$Z_1 + y_1 + \alpha_1 \frac{V_1^2}{2g} = Z_2 + y_2 + \alpha_2 \frac{V_2^2}{2g} + h_e$$

o in altri termini: $E_1 = E_2 + h_e$

L'energia totale nella sezione di monte H1 è quindi uguale all'energia della sezione di valle H2 più il termine di perdita di energia h_e . Questa equazione è usata in successione da HEC-RAS spostandosi per passi da una sezione all'altra, calcolando il profilo idraulico.

Perdite di energia

In HEC-RAS la perdita totale di energia h_e è considerata composta da due componenti: una componente di attrito h_f , dovuta alla scabrezza delle superfici e calcolata secondo l'equazione di Manning, e una componente h_o , che rappresenta le altre perdite, soprattutto dovute a contrazioni ed espansioni.

Il programma determina se il flusso è in contrazione o espansione sottraendo il termine cinetico $V^2/2g$ alla sezione a valle dal termine cinetico alla sezione a monte. Se la differenza risulta un numero negativo, il moto è di contrazione, se positivo è di espansione. Il programma, sulla base di questo controllo, applica un coefficiente appropriato.

Se consideriamo ora un tratto di canale, la pendenza S_f della linea dell'energia in corrispondenza a una determinata sezione può essere determinata con l'equazione di Manning, inserendo la quota del pelo libero, la portata, il coefficiente di rugosità n e la geometria della sezione. L'energia persa a causa dell'attrito tra le sezioni a monte e a valle è calcolata con il seguente integrale:

$$\int_{x_2}^{x_1} S_f dx = \bar{S}_f L$$

dove f è la perdita specifica per attrito e L è la lunghezza del tratto in esame.

Un'approssimazione delle perdite per attrito h_f può essere ottenuta moltiplicando il termine f per la lunghezza L del tronco tra le due sezioni.

Ci sono quattro equazioni in HEC-RAS per l'approssimazione delle perdite tra due sezioni e sono le seguenti:

• $\bar{S}_f = \left(\frac{Q_1 + Q_2}{K_1 + K_2} \right)^2$ trasporto medio

- $\bar{S}_f = \frac{\sqrt{S_{f_1} + S_{f_2}}}{2}$ attrito specifico medio
- $\bar{S}_f = \sqrt{S_{f_1} * S_{f_2}}$ media geometrica attrito specifico
- $\bar{S}_f = \frac{2 S_{f_1} * S_{f_2}}{S_{f_1} + S_{f_2}}$ media armonica attrito specifico

Se nessuna di queste viene espressamente scelta in fase di setup dell'applicazione, il modello utilizza la prima delle quattro.

Standar step method

Per illustrare il metodo “standard step method” utilizzato da HEC-RAS si possono descrivere i passi necessari per il calcolo del profilo relativo a condizioni di moto subcritico con l'equazione dell'energia.

Si suppongano quindi due sezioni di cui si conosca la quota della superficie della sezione di valle; il problema che si vuole risolvere è la conoscenza della quota corrispondente alla sezione di monte.

Si può quindi scrivere il bilancio dell'energia fra le sezioni U di monte e D di valle:

- $WS_u + \frac{a_u V_u^2}{2g} = WS_d + \frac{a_d V_d^2}{2g} + h_e$
- $WS_u = Z_u + y_u$
- $WS_d = Z_d + y_d$

Assumendo che la geometria delle sezioni sia nota, i termini incogniti dell'equazione sono WS_u , V_u e h_e . V_u è desumibile direttamente dal valore di WS_u , per cui le incognite possono essere ridotte a due. Con due incognite è necessaria una seconda equazione, riguardante le perdite di energia ed espressa da $h_e = hf + h_o$, per poter ottenere una soluzione. L'irregolarità dei canali naturali richiede una ricerca della soluzione di tipo “trail and error”, per successivi tentativi.

I passi attraverso cui avviene il calcolo sono i seguenti.

- viene supposta una quota di pelo libero per la sezione di monte. Un primo tentativo può essere fatto imponendo la pendenza della linea dell'energia pari alla pendenza del tronco d'alveo; quindi, $DWS = (Q/K)^2 L$, dove DWS rappresenta la variazione nella quota del pelo libero, Q è la portata, K il termine di trasporto e L la distanza dalla sezione a monte;
- sulla base della quota di pelo libero assunta e della geometria della sezione, vengono determinati i termini cinetico e il trasporto totale per la sezione a monte;
- con i valori calcolati del termine cinetico e di trasporto del passo 2, viene calcolato il valore di h_e ;
- con il valore calcolato di h_e , viene calcolata l'altezza di pelo libero della sezione a monte utilizzando l'equazione dell'energia;

- viene fatto un confronto fra il valore calcolato al passo 4 e il valore impostato al passo 1. Se la differenza non è inferiore a una prefissata tolleranza, il ciclo riprende cambiando il valore al passo 1.

Questa tecnica richiede tempi di elaborazione brevissimi e non incontra problemi di convergenza nemmeno in presenza di discontinuità geometriche o idrauliche (passaggio tra regime di moto subcritico e supercritico).

APPENDICE B - RISULTATI DELLE SIMULAZIONI NUMERICHE RELATIVE ALLO STATO DI FATTO

River Sta	Profile	Q Total (m3/s)	Min Ch El (m)	W.S. Elev (m)	Crit W.S. (m)	E.G. Elev (m)	E.G. Slope (m/m)	Vel Chnl (m/s)	Flow Area (m2)	Top Width (m)	Froude # Chl
26	TR2	352.66	477.83	482.67	482.07	483.69	0.003938	4.5	81.81	25.58	0.74
26	TR5	485.7	477.83	483.39	482.82	484.7	0.004062	5.14	100.6	26.71	0.77
26	TR10	574.78	477.83	483.85	483.28	485.32	0.004039	5.47	113.03	27.44	0.78
26	TR20	660.99	477.83	484.27	483.68	485.88	0.004017	5.75	124.57	28.09	0.79
26	TR50	773.69	477.83	484.75	484.18	486.57	0.004075	6.13	138.51	29.97	0.81
26	TR100	858.97	477.83	485.13	484.47	487.06	0.003994	6.34	150.14	30.7	0.81
26	TR200	944.66	477.83	485.46	484.92	487.52	0.003994	6.56	160.57	31.34	0.82
26	TR300	995.04	477.83	484.28	485.12	487.92	0.009001	8.63	125.05	28.12	1.19
25	TR2	352.66	477.84	481.94	481.94	483.35	0.007163	5.32	69.16	25.7	0.97
25	TR5	485.7	477.84	482.64	482.64	484.34	0.006646	5.88	87.64	26.82	0.97
25	TR10	574.78	477.84	483.07	483.07	484.95	0.0064	6.2	99.28	27.5	0.96
25	TR20	660.99	477.84	483.32	483.46	485.5	0.0069	6.69	106.29	27.91	1.01
25	TR50	773.69	477.84	483.72	483.94	486.19	0.007019	7.14	117.44	28.54	1.03
25	TR100	858.97	477.84	484.01	484.28	486.68	0.007048	7.44	125.82	29	1.05
25	TR200	944.66	477.84	484.33	484.45	487.15	0.006887	7.66	135.22	29.51	1.05
25	TR300	995.04	477.84	484.63	484.92	487.42	0.006339	7.62	144.59	32.52	1.01
24	TR2	352.66	475.95	481.76	480.62	482.51	0.002705	3.87	95.1	26.43	0.6
24	TR5	485.7	475.95	480.33	481.38	483.77	0.021321	8.23	59.74	22.75	1.58
24	TR10	574.78	475.95	480.71	481.83	484.39	0.019282	8.53	68.54	23.21	1.53
24	TR20	660.99	475.95	481.06	482.22	484.97	0.017871	8.81	76.92	25.25	1.5
24	TR50	773.69	475.95	481.49	482.72	485.67	0.01649	9.13	87.84	25.96	1.47
24	TR100	858.97	475.95	481.79	483.08	486.17	0.015723	9.37	95.76	26.47	1.45
24	TR200	944.66	475.95	482.09	483.42	486.65	0.015018	9.58	103.69	26.97	1.44
24	TR300	995.04	475.95	482.26	483.6	486.92	0.014647	9.7	108.31	27.25	1.43
23	TR2	352.66	477.14	480.89	480.89	482.24	0.007315	5.19	69.82	27.74	0.97
23	TR5	485.7	477.14	481.57	481.57	483.19	0.006669	5.71	89.26	28.91	0.96
23	TR10	574.78	477.14	481.98	481.98	483.77	0.006403	6.01	101.28	29.6	0.96
23	TR20	660.99	477.14	482.35	482.35	484.29	0.006231	6.28	112.25	30.23	0.96
23	TR50	773.69	477.14	482.72	482.72	484.93	0.00644	6.74	123.4	30.85	0.99
23	TR100	858.97	477.14	483.19	483.19	485.39	0.005663	6.74	138.93	33.24	0.94
23	TR200	944.66	477.14	483.5	483.5	485.82	0.005573	6.94	149.27	33.91	0.94
23	TR300	995.04	477.14	483.68	483.68	486.07	0.005497	7.05	155.52	34.3	0.94

Studio idraulico Fiume Isarco - Relazione idraulica
 fasi di cantiere

COMMESSA	LOTTO	CODIFICA	DOCUMENTO	REV.	FOGLIO
IBL1	10	D 11 RI	ID 10 02 002	A	29 di 42

River Sta	Profile	Q Total (m3/s)	Min Ch El (m)	W.S. Elev (m)	Crit W.S. (m)	E.G. Elev (m)	E.G. Slope (m/m)	Vel Chnl (m/s)	Flow Area (m2)	Top Width (m)	Froude # Chl
22	TR2	352.66	477.39	479.76	480.08	481.21	0.015013	5.34	66.09	36.43	1.26
22	TR5	485.7	477.39	480	480.59	482.15	0.01903	6.5	74.89	36.86	1.44
22	TR10	574.78	477.39	480.18	480.92	482.73	0.020434	7.09	81.37	37.18	1.51
22	TR20	660.99	477.39	480.34	481.22	483.27	0.021391	7.58	87.58	37.47	1.56
22	TR50	773.69	477.39	480.56	481.58	483.93	0.022199	8.14	95.62	37.85	1.61
22	TR100	858.97	477.39	480.72	481.84	484.39	0.022496	8.51	101.76	38.14	1.63
22	TR200	944.66	477.39	480.89	482.09	484.83	0.022491	8.82	108.17	39.78	1.64
22	TR300	995.04	477.39	480.98	482.23	485.08	0.022402	8.99	112.05	40.52	1.64
21	TR2	352.66	477.27	480.16	479.46	480.52	0.002627	2.68	133.44	60.91	0.57
21	TR5	485.7	477.27	480.67	479.83	481.13	0.002493	3	166.51	65.12	0.57
21	TR10	574.78	477.27	480.99	480.06	481.49	0.002413	3.17	187.24	65.72	0.57
21	TR20	660.99	477.27	481.28	480.19	481.83	0.002355	3.32	206.18	66.27	0.57
21	TR50	773.69	477.27	481.63	480.56	482.24	0.002296	3.5	229.7	67.03	0.58
21	TR100	858.97	477.27	481.88	480.75	482.53	0.002282	3.64	246.45	68.95	0.58
21	TR200	944.66	477.27	482.12	480.93	482.82	0.002245	3.75	263.38	69.56	0.58
21	TR300	995.04	477.27	482.26	481.03	482.98	0.002234	3.83	272.96	70.48	0.58
20	TR2	352.66	475.29	477.73	477.73	478.49	0.009283	3.86	91.48	60.31	1
20	TR5	485.7	475.29	478.09	478.09	479.03	0.008635	4.29	113.52	60.81	1
20	TR10	574.78	475.29	478.32	478.32	479.37	0.008266	4.53	127.44	61.29	0.99
20	TR20	660.99	475.29	478.53	478.53	479.67	0.008025	4.75	140.07	61.78	0.99
20	TR50	773.69	475.29	478.79	478.79	480.05	0.007722	5	156.13	62.39	0.99
20	TR100	858.97	475.29	478.98	478.98	480.33	0.007513	5.16	167.94	62.84	0.99
20	TR200	944.66	475.29	479.16	479.16	480.6	0.007324	5.32	179.53	63.28	0.99
20	TR300	995.04	475.29	479.26	479.26	480.75	0.007281	5.42	185.75	63.52	0.99
19	TR2	352.66	474.42	476.77	476.53	477.39	0.005807	3.52	101.19	55.34	0.82
19	TR5	485.7	474.42	476.67	476.94	478	0.013118	5.12	95.61	54.71	1.22
19	TR10	574.78	474.42	476.88	477.19	478.36	0.012867	5.41	107.35	56.03	1.22
19	TR20	660.99	474.42	477.08	477.41	478.69	0.012557	5.64	118.58	57.25	1.23
19	TR50	773.69	474.42	477.31	477.7	479.09	0.012371	5.93	132.19	58.7	1.23
19	TR100	858.97	474.42	477.47	477.88	479.38	0.012322	6.15	141.84	59.7	1.24
19	TR200	944.66	474.42	477.63	478.08	479.66	0.012098	6.35	151.35	60.37	1.24
19	TR300	995.04	474.42	477.72	478.19	479.82	0.011984	6.46	156.81	60.74	1.24
18	TR2	352.66	473.93	475.94	476.16	476.96	0.012693	4.58	81.63	62.23	1.17
18	TR5	485.7	473.93	476.81	476.53	477.49	0.004928	3.8	138.3	68.85	0.78

River Sta	Profile	Q Total (m3/s)	Min Ch El (m)	W.S. Elev (m)	Crit W.S. (m)	E.G. Elev (m)	E.G. Slope (m/m)	Vel Chnl (m/s)	Flow Area (m2)	Top Width (m)	Froude # Chl
18	TR10	574.78	473.93	477.14	476.79	477.83	0.004302	3.86	161.09	69.75	0.74
18	TR20	660.99	473.93	477.43	476.99	478.15	0.003927	3.95	181.48	70.54	0.72
18	TR50	773.69	473.93	477.77	477.23	478.54	0.003614	4.07	206.19	71.49	0.71
18	TR100	858.97	473.93	478.03	477.4	478.83	0.003432	4.16	224.2	72.21	0.7
18	TR200	944.66	473.93	478.24	477.56	479.08	0.003379	4.29	239.53	72.81	0.7
18	TR300	995.04	473.93	478.36	477.67	479.23	0.003349	4.36	248.38	73.16	0.7
17	TR2	352.66	472.95	475.44	475.44	476.11	0.009757	3.61	97.73	73.1	1
17	TR5	485.7	472.95	475.72	475.77	476.58	0.01008	4.11	118.31	74.79	1.04
17	TR10	574.78	472.95	475.88	475.96	476.87	0.010212	4.41	130.42	75.14	1.07
17	TR20	660.99	472.95	476.06	476.14	477.14	0.009801	4.6	143.69	75.52	1.06
17	TR50	773.69	472.95	476.63	476.36	477.5	0.005636	4.15	187.08	76.74	0.84
17	TR100	858.97	472.95	476.96	476.52	477.8	0.004565	4.06	212.74	77.46	0.77
17	TR200	944.66	472.95	477.28	476.68	478.09	0.003863	4.01	237.4	78.14	0.72
17	TR300	995.04	472.95	477.46	476.77	478.27	0.003553	3.99	251.53	78.53	0.7
16	TR2	352.66	472.19	474.55	474.69	475.42	0.013131	4.13	85.54	65.99	1.15
16	TR5	485.7	472.19	475.35	475.02	475.97	0.005067	3.5	139.65	68.96	0.77
16	TR10	574.78	472.19	475.79	475.24	476.38	0.003697	3.4	170.74	70.26	0.68
16	TR20	660.99	472.19	476.18	475.43	476.76	0.003039	3.39	197.94	71.63	0.63
16	TR50	773.69	472.19	476.64	475.68	477.23	0.002527	3.41	232.02	74.57	0.59
16	TR100	858.97	472.19	476.97	475.85	477.56	0.002268	3.44	256.71	75.84	0.57
16	TR200	944.66	472.19	477.28	476.02	477.89	0.002074	3.47	280.76	77.06	0.55
16	TR300	995.04	472.19	477.46	476.12	478.07	0.00198	3.49	294.65	77.75	0.54
15	TR2	352.66	471.24	474.18	473.91	474.92	0.005554	3.82	93.09	43.56	0.81
15	TR5	485.7	471.24	474.85	474.39	475.67	0.004341	4.02	122.98	45.55	0.75
15	TR10	574.78	471.24	475.24	474.68	476.12	0.003961	4.18	140.92	46.48	0.73
15	TR20	660.99	471.24	475.57	474.94	476.52	0.003805	4.36	156.26	50.32	0.73
15	TR50	773.69	471.24	475.94	475.27	477	0.003706	4.59	176.73	56	0.73
15	TR100	858.97	471.24	476.26	475.51	477.34	0.003473	4.68	194.62	56.89	0.72
15	TR200	944.66	471.24	476.56	475.84	477.68	0.003287	4.76	211.96	57.74	0.71
15	TR300	995.04	471.24	476.74	475.98	477.87	0.003193	4.81	221.94	58.23	0.7
14	TR2	352.66	469.99	473.85	473.51	474.69	0.004394	4.16	91.81	39.72	0.76
14	TR5	485.7	469.99	474.28	474.11	475.43	0.005089	4.9	109.65	42.59	0.84
14	TR10	574.78	469.99	474.55	474.46	475.88	0.005432	5.31	120.99	44.32	0.88
14	TR20	660.99	469.99	474.81	474.81	476.28	0.005528	5.61	132.94	45.62	0.9

Studio idraulico Fiume Isarco - Relazione idraulica
 fasi di cantiere

COMMESSA	LOTTO	CODIFICA	DOCUMENTO	REV.	FOGLIO
IBL1	10	D 11 RI	ID 10 02 002	A	31 di 42

River Sta	Profile	Q Total (m3/s)	Min Ch El (m)	W.S. Elev (m)	Crit W.S. (m)	E.G. Elev (m)	E.G. Slope (m/m)	Vel Chnl (m/s)	Flow Area (m2)	Top Width (m)	Froude # Chl
14	TR50	773.69	469.99	475.16	475.16	476.77	0.005468	5.9	149.1	46.68	0.9
14	TR100	858.97	469.99	475.42	475.42	477.11	0.005408	6.1	161.07	47.45	0.91
14	TR200	944.66	469.99	475.66	475.66	477.45	0.005368	6.29	172.58	48.18	0.91
14	TR300	995.04	469.99	475.79	475.79	477.64	0.005348	6.39	179.18	48.6	0.92
13	TR2	352.66	470.49	473.67	473.44	474.41	0.004815	4.04	98.08	46.06	0.78
13	TR5	485.7	470.49	474.23	473.9	475.1	0.004453	4.4	124.3	47.36	0.78
13	TR10	574.78	470.49	474.56	474.18	475.51	0.004339	4.63	140.04	48.13	0.78
13	TR20	660.99	470.49	474.83	474.43	475.88	0.004366	4.87	153.18	48.76	0.79
13	TR50	773.69	470.49	475.15	474.75	476.33	0.00445	5.19	168.84	49.5	0.81
13	TR100	858.97	470.49	475.38	474.98	476.66	0.00451	5.41	180.07	50.02	0.82
13	TR200	944.66	470.49	475.6	475.2	476.97	0.004543	5.61	191.26	50.54	0.83
13	TR300	995.04	470.49	475.72	475.32	477.15	0.004586	5.73	197.32	50.82	0.84
12	TR2	352.66	470.11	472.3	472.32	473.16	0.009271	4.12	85.81	51.19	1.01
12	TR5	485.7	470.11	472.47	472.73	473.82	0.012765	5.15	94.56	51.55	1.2
12	TR10	574.78	470.11	472.61	472.98	474.24	0.01407	5.67	101.72	51.84	1.28
12	TR20	660.99	470.11	472.73	473.21	474.65	0.015173	6.13	108.26	52.11	1.34
12	TR50	773.69	470.11	472.91	473.49	475.14	0.015976	6.63	117.36	52.48	1.39
12	TR100	858.97	470.11	473.05	473.7	475.5	0.016219	6.94	124.57	52.77	1.42
12	TR200	944.66	470.11	473.18	473.91	475.83	0.016314	7.22	131.85	53.06	1.44
12	TR300	995.04	470.11	473.27	474.02	476.02	0.016231	7.36	136.37	53.23	1.44
11	TR2	352.66	468.7	470.96	471.3	472.4	0.014496	5.33	66.77	39.42	1.28
11	TR5	485.7	468.7	471.44	471.79	473.11	0.012336	5.76	85.91	41.03	1.22
11	TR10	574.78	468.7	471.73	472.1	473.54	0.011409	6.01	98.03	42.01	1.2
11	TR20	660.99	468.7	472.01	472.38	473.93	0.010549	6.19	109.95	42.96	1.18
11	TR50	773.69	468.7	472.35	472.73	474.41	0.009772	6.43	124.78	44.11	1.15
11	TR100	858.97	468.7	472.59	472.98	474.76	0.00936	6.61	135.45	44.92	1.14
11	TR200	944.66	468.7	472.83	473.22	475.09	0.008926	6.75	146.4	45.73	1.13
11	TR300	995.04	468.7	473.53	473.36	475.22	0.005366	5.88	179.17	47.9	0.9
10	TR2	352.66	467.35	470.22	470.44	471.61	0.010674	5.25	68.4	33.98	1.13
10	TR5	485.7	467.35	470.75	471.02	472.41	0.009604	5.76	87.23	36.23	1.11
10	TR10	574.78	467.35	471.09	471.37	472.9	0.009056	6.03	99.45	37.63	1.1
10	TR20	660.99	467.35	471.4	471.69	473.33	0.008544	6.25	111.37	38.94	1.08
10	TR50	773.69	467.35	471.8	472.1	473.84	0.00784	6.45	127.56	40.65	1.06
10	TR100	858.97	467.35	472.05	472.36	474.22	0.007747	6.69	137.57	41.67	1.06

Studio idraulico Fiume Isarco - Relazione idraulica
 fasi di cantiere

COMMESSA	LOTTO	CODIFICA	DOCUMENTO	REV.	FOGLIO
IBL1	10	D 11 RI	ID 10 02 002	A	32 di 42

River Sta	Profile	Q Total (m3/s)	Min Ch El (m)	W.S. Elev (m)	Crit W.S. (m)	E.G. Elev (m)	E.G. Slope (m/m)	Vel Chnl (m/s)	Flow Area (m2)	Top Width (m)	Froude # Chl
10	TR200	944.66	467.35	472.29	472.62	474.58	0.007607	6.88	147.62	42.19	1.06
10	TR300	995.04	467.35	472.75	472.76	474.74	0.005827	6.45	167.27	43.16	0.95
9	TR2	352.66	466.08	469.19	469.65	470.92	0.013682	5.92	62.68	34.35	1.27
9	TR5	485.7	466.08	469.65	470.24	471.76	0.01319	6.59	79.06	37.19	1.29
9	TR10	574.78	466.08	469.92	470.57	472.26	0.012925	6.97	89.5	38.85	1.3
9	TR20	660.99	466.08	470.18	470.92	472.7	0.012616	7.27	99.54	40.39	1.3
9	TR50	773.69	466.08	470.48	471.27	473.23	0.012338	7.64	112.1	42.23	1.31
9	TR100	858.97	466.08	470.69	471.53	473.61	0.012204	7.91	121.2	43.52	1.31
9	TR200	944.66	466.08	470.89	471.77	473.98	0.012132	8.16	129.81	44.33	1.32
9	TR300	995.04	466.08	471.03	471.9	474.15	0.011762	8.22	136.06	44.85	1.31
8	TR2	352.66	464.35	468.07	467.97	469.2	0.006679	4.74	76.38	31.42	0.92
8	TR5	485.7	464.35	468.42	468.59	470.07	0.008371	5.75	87.47	32.47	1.05
8	TR10	574.78	464.35	468.73	468.95	470.6	0.008347	6.13	97.85	33.42	1.06
8	TR20	660.99	464.35	469.46	469.29	471.06	0.005561	5.7	123.21	36.09	0.9
8	TR50	773.69	464.35	469.96	469.75	471.64	0.005068	5.87	141.6	37.6	0.87
8	TR100	858.97	464.35	470.33	470.05	472.06	0.004758	5.99	155.69	39.64	0.86
8	TR200	944.66	464.35	470.71	470.37	472.46	0.004405	6.05	170.76	40.16	0.83
8	TR300	995.04	464.35	470.9	470.53	472.68	0.004298	6.12	178.48	40.41	0.83
7	TR2	352.66	464.15	467.57	467.49	468.44	0.006414	4.19	88.66	48.42	0.88
7	TR5	485.7	464.15	468.71	467.98	469.33	0.002821	3.62	147.47	55.23	0.62
7	TR10	574.78	464.15	469.3	468.27	469.88	0.002174	3.53	181.63	58.92	0.56
7	TR20	660.99	464.15	469.81	468.53	470.37	0.001835	3.51	211.48	59.66	0.52
7	TR50	773.69	464.15	470.41	468.84	470.97	0.001573	3.53	247.5	60.55	0.5
7	TR100	858.97	464.15	470.84	469.08	471.4	0.001433	3.55	273.75	61.19	0.48
7	TR200	944.66	464.15	471.24	469.33	471.82	0.001332	3.59	298.84	61.8	0.47
7	TR300	995.04	464.15	471.46	469.45	472.04	0.001297	3.63	312.14	62.11	0.46
6	TR2	352.66	464.54	467.55	466.69	467.9	0.002177	2.65	137.59	60.75	0.53
6	TR5	485.7	464.54	468.76	467.1	469.04	0.001075	2.4	212.95	63.39	0.39
6	TR10	574.78	464.54	469.36	467.36	469.65	0.0009	2.43	251.26	64.31	0.37
6	TR20	660.99	464.54	469.86	467.6	470.16	0.000815	2.48	283.66	65.08	0.36
6	TR50	773.69	464.54	470.46	467.87	470.78	0.000746	2.57	322.96	66	0.35
6	TR100	858.97	464.54	470.89	468.08	471.22	0.000706	2.62	351.63	66.66	0.34
6	TR200	944.66	464.54	471.3	468.27	471.65	0.000676	2.69	379.08	67.33	0.34
6	TR300	995.04	464.54	471.52	468.37	471.88	0.000668	2.73	393.68	67.72	0.34

River Sta	Profile	Q Total (m3/s)	Min Ch El (m)	W.S. Elev (m)	Crit W.S. (m)	E.G. Elev (m)	E.G. Slope (m/m)	Vel Chnl (m/s)	Flow Area (m2)	Top Width (m)	Froude # Chl
5	TR2	352.66	462.47	467.44	465.76	467.75	0.00118	2.55	148.49	46.87	0.41
5	TR5	485.7	462.47	468.65	466.3	468.96	0.000841	2.57	209.23	52.06	0.36
5	TR10	574.78	462.47	469.24	466.62	469.57	0.000783	2.67	240.31	52.86	0.36
5	TR20	660.99	462.47	469.73	466.96	470.09	0.000763	2.78	266.4	53.53	0.36
5	TR50	773.69	462.47	470.31	467.33	470.71	0.00075	2.93	297.94	54.32	0.36
5	TR100	858.97	462.47	470.74	467.55	471.15	0.000741	3.03	320.97	54.89	0.36
5	TR200	944.66	462.47	471.13	467.84	471.58	0.00074	3.14	343.01	56.28	0.36
5	TR300	995.04	462.47	471.33	467.99	471.8	0.000758	3.23	354.32	59.75	0.37
4	TR2	352.66	461.13	467.34	464.9	467.61	0.000707	2.47	165.38	39.13	0.34
4	TR5	485.7	461.13	468.53	465.51	468.84	0.000643	2.69	214	42.3	0.33
4	TR10	574.78	461.13	469.11	465.86	469.46	0.000662	2.88	238.68	43.86	0.34
4	TR20	660.99	461.13	469.58	466.19	469.97	0.000692	3.07	259.59	45.05	0.35
4	TR50	773.69	461.13	470.13	466.59	470.59	0.000729	3.3	285.06	46.45	0.37
4	TR100	858.97	461.13	470.53	466.83	471.03	0.000755	3.47	303.82	47.85	0.38
4	TR200	944.66	461.13	470.91	467.16	471.45	0.000786	3.64	322.29	50.28	0.39
4	TR300	995.04	461.13	471.1	467.3	471.68	0.000803	3.73	332.34	51.86	0.39
3	TR2	352.66	461.81	467.31	464.37	467.47	0.000413	1.86	211.38	46.71	0.26
3	TR5	485.7	461.81	468.52	464.89	468.71	0.000377	2.04	268.96	48.06	0.25
3	TR10	574.78	461.81	469.09	465.2	469.32	0.000411	2.25	300.94	58.87	0.27
3	TR20	660.99	461.81	469.57	465.48	469.82	0.000421	2.38	329.19	58.95	0.28
3	TR50	773.69	461.81	470.14	465.83	470.42	0.000436	2.54	362.78	59.05	0.28
3	TR100	858.97	461.81	470.54	466.1	470.85	0.000454	2.68	387.13	62.1	0.29
3	TR200	944.66	461.81	470.92	466.33	471.27	0.000483	2.84	412.92	73.58	0.3
3	TR300	995.04	461.81	471.14	466.46	471.49	0.000484	2.89	428.98	73.78	0.3
2	TR2	352.66	460.95	467.3	463.42	467.4	0.000212	1.46	270.09	49.95	0.19
2	TR5	485.7	460.95	468.52	463.86	468.64	0.000215	1.66	355.26	88.86	0.2
2	TR10	574.78	460.95	469.1	464.14	469.24	0.00022	1.77	413.7	108.9	0.2
2	TR20	660.99	460.95	469.59	464.38	469.74	0.000219	1.84	467.12	109.06	0.2
2	TR50	773.69	460.95	470.18	464.7	470.33	0.000219	1.92	530.75	109.06	0.21
2	TR100	858.97	460.95	470.59	464.92	470.75	0.000218	1.98	576.19	109.06	0.21
2	TR200	944.66	460.95	470.99	465.13	471.15	0.000218	2.03	619.51	109.06	0.21
2	TR300	995.04	460.95	471.21	465.26	471.38	0.000218	2.06	643.73	109.06	0.21
0.1	TR2	352.66	460.88	467.29	463.37	467.39	0.0002	1.41	266.5	53.05	0.18

Studio idraulico Fiume Isarco - Relazione idraulica
 fasi di cantiere

COMMESSA	LOTTO	CODIFICA	DOCUMENTO	REV.	FOGLIO
IBL1	10	D 11 RI	ID 10 02 002	A	34 di 42

River Sta	Profile	Q Total (m3/s)	Min Ch El (m)	W.S. Elev (m)	Crit W.S. (m)	E.G. Elev (m)	E.G. Slope (m/m)	Vel Chnl (m/s)	Flow Area (m2)	Top Width (m)	Froude # Chl
0.1	TR5	485.7	460.88	468.48	463.85	468.6	0.0002	1.59	356.3	94.39	0.19
0.1	TR10	574.78	460.88	469.07	464.12	469.2	0.0002	1.68	417.42	110.36	0.19
0.1	TR20	660.99	460.88	469.57	464.37	469.71	0.0002	1.75	472.56	110.36	0.19
0.1	TR50	773.69	460.88	470.16	464.67	470.31	0.0002	1.83	537.9	110.36	0.2
0.1	TR100	858.97	460.88	470.59	464.89	470.74	0.0002	1.89	584.33	110.36	0.2
0.1	TR200	944.66	460.88	470.99	465.12	471.14	0.0002	1.94	628.45	110.36	0.2
0.1	TR300	995.04	460.88	471.21	465.25	471.37	0.0002	1.97	653.1	110.36	0.2
0.05	TR2	352.66	460.88	467.29	463.37	467.39	0.0002	1.41	266.43	48.43	0.18
0.05	TR5	485.7	460.88	468.48	463.85	468.6	0.0002	1.59	356.3	94.39	0.19
0.05	TR10	574.78	460.88	469.07	464.12	469.2	0.0002	1.68	417.42	110.36	0.19
0.05	TR20	660.99	460.88	469.57	464.37	469.71	0.0002	1.75	472.56	110.36	0.19
0.05	TR50	773.69	460.88	470.16	464.68	470.31	0.0002	1.83	537.89	110.36	0.2
0.05	TR100	858.97	460.88	470.59	464.91	470.74	0.0002	1.89	584.32	110.36	0.2
0.05	TR200	944.66	460.88	470.99	465.12	471.14	0.0002	1.94	628.45	110.36	0.2
0.05	TR300	995.04	460.88	471.21	465.25	471.37	0.0002	1.97	653.09	110.36	0.2

APPENDICE C - RISULTATI DELLE SIMULAZIONI NUMERICHE RELATIVE ALLA FASE DI CANTIERE

River Sta	Profile	Q Total (m ³ /s)	Min Ch El (m)	W.S. Elev (m)	Crit W.S. (m)	E.G. Elev (m)	E.G. Slope (m/m)	Vel Chnl (m/s)	Flow Area (m ²)	Top Width (m)	Froude # Chl
26	TR2	352.66	477.83	482.67	482.07	483.69	0.003938	4.5	81.81	25.58	0.74
26	TR5	485.7	477.83	483.39	482.82	484.7	0.004063	5.14	100.59	26.71	0.77
26	TR10	574.78	477.83	483.85	483.28	485.32	0.004044	5.47	112.98	27.44	0.78
26	TR20	660.99	477.83	484.26	483.68	485.88	0.004032	5.76	124.41	28.08	0.79
26	TR50	773.69	477.83	484.74	484.18	486.57	0.004096	6.14	138.26	29.95	0.81
26	TR100	858.97	477.83	485.13	484.47	487.06	0.003998	6.34	150.09	30.7	0.81
26	TR200	944.66	477.83	485.45	484.92	487.52	0.004022	6.58	160.17	31.32	0.82
26	TR300	995.04	477.83	484.28	485.12	487.92	0.009001	8.63	125.05	28.12	1.19
25	TR2	352.66	477.84	481.94	481.94	483.35	0.007163	5.32	69.16	25.7	0.97
25	TR5	485.7	477.84	482.64	482.64	484.34	0.006648	5.88	87.63	26.82	0.97
25	TR10	574.78	477.84	483.07	483.07	484.95	0.006397	6.2	99.29	27.51	0.96
25	TR20	660.99	477.84	483.32	483.46	485.5	0.0069	6.69	106.29	27.91	1.01
25	TR50	773.69	477.84	483.72	483.94	486.19	0.007019	7.14	117.44	28.54	1.03
25	TR100	858.97	477.84	484.01	484.28	486.68	0.007048	7.44	125.83	29	1.05
25	TR200	944.66	477.84	484.33	484.45	487.15	0.006887	7.66	135.22	29.51	1.05
25	TR300	995.04	477.84	484.63	484.92	487.42	0.006339	7.62	144.59	32.52	1.01
24	TR2	352.66	475.95	481.76	480.63	482.51	0.002706	3.87	95.1	26.43	0.6
24	TR5	485.7	475.95	480.33	481.38	483.77	0.021322	8.23	59.74	22.75	1.58
24	TR10	574.78	475.95	480.71	481.83	484.39	0.019283	8.53	68.54	23.21	1.53
24	TR20	660.99	475.95	481.06	482.22	484.97	0.017871	8.81	76.92	25.25	1.5
24	TR50	773.69	475.95	481.49	482.72	485.67	0.01649	9.13	87.84	25.96	1.47
24	TR100	858.97	475.95	481.79	483.08	486.17	0.015723	9.37	95.76	26.47	1.45
24	TR200	944.66	475.95	482.09	483.42	486.65	0.015019	9.58	103.69	26.97	1.44
24	TR300	995.04	475.95	482.26	483.59	486.92	0.014647	9.7	108.31	27.25	1.43
23	TR2	352.66	477.14	480.89	480.89	482.24	0.007304	5.19	69.85	27.74	0.97
23	TR5	485.7	477.14	481.57	481.57	483.19	0.006666	5.71	89.27	28.91	0.96
23	TR10	574.78	477.14	481.98	481.98	483.77	0.006402	6.01	101.28	29.6	0.96
23	TR20	660.99	477.14	482.35	482.35	484.29	0.006231	6.28	112.25	30.23	0.96
23	TR50	773.69	477.14	482.72	482.72	484.93	0.00644	6.74	123.4	30.85	0.99
23	TR100	858.97	477.14	483.19	483.19	485.39	0.005666	6.74	138.91	33.24	0.94
23	TR200	944.66	477.14	483.5	483.5	485.82	0.005575	6.94	149.25	33.9	0.94
23	TR300	995.04	477.14	483.68	483.68	486.07	0.005497	7.05	155.52	34.3	0.94

Studio idraulico Fiume Isarco - Relazione idraulica
 fasi di cantiere

COMMESSA	LOTTO	CODIFICA	DOCUMENTO	REV.	FOGLIO
IBL1	10	D 11 RI	ID 10 02 002	A	36 di 42

River Sta	Profile	Q Total (m ³ /s)	Min Ch El (m)	W.S. Elev (m)	Crit W.S. (m)	E.G. Elev (m)	E.G. Slope (m/m)	Vel Chnl (m/s)	Flow Area (m ²)	Top Width (m)	Froude # Chl
22	TR2	352.66	477.39	479.76	480.08	481.21	0.015013	5.34	66.09	36.43	1.26
22	TR5	485.7	477.39	480	480.59	482.15	0.019031	6.5	74.89	36.86	1.44
22	TR10	574.78	477.39	480.18	480.92	482.73	0.020434	7.09	81.37	37.18	1.51
22	TR20	660.99	477.39	480.34	481.22	483.27	0.021391	7.58	87.58	37.47	1.56
22	TR50	773.69	477.39	480.56	481.58	483.93	0.022199	8.14	95.62	37.85	1.61
22	TR100	858.97	477.39	480.72	481.84	484.39	0.022497	8.51	101.76	38.14	1.63
22	TR200	944.66	477.39	480.89	482.09	484.83	0.022491	8.82	108.17	39.78	1.64
22	TR300	995.04	477.39	480.98	482.23	485.08	0.022402	8.99	112.05	40.52	1.64
21	TR2	352.66	477.27	480.16	479.46	480.52	0.002627	2.68	133.44	60.91	0.57
21	TR5	485.7	477.27	480.67	479.84	481.13	0.002493	2.99	166.51	65.12	0.57
21	TR10	574.78	477.27	480.99	480.06	481.49	0.002413	3.17	187.24	65.72	0.57
21	TR20	660.99	477.27	481.28	480.19	481.83	0.002355	3.32	206.17	66.27	0.57
21	TR50	773.69	477.27	481.63	480.56	482.24	0.002296	3.5	229.69	67.03	0.58
21	TR100	858.97	477.27	481.88	480.75	482.53	0.002282	3.64	246.45	68.95	0.58
21	TR200	944.66	477.27	482.12	480.93	482.82	0.002245	3.75	263.38	69.56	0.58
21	TR300	995.04	477.27	482.26	481.03	482.98	0.002234	3.83	272.95	70.48	0.58
20.5	Inl Struct										
20	TR2	352.66	475.29	477.73	477.73	478.49	0.009285	3.86	91.47	60.31	1
20	TR5	485.7	475.29	478.09	478.09	479.03	0.008635	4.29	113.52	60.81	1
20	TR10	574.78	475.29	478.32	478.32	479.37	0.008266	4.53	127.44	61.29	0.99
20	TR20	660.99	475.29	478.53	478.53	479.67	0.008025	4.75	140.07	61.78	0.99
20	TR50	773.69	475.29	478.79	478.79	480.05	0.007712	4.99	156.19	62.4	0.99
20	TR100	858.97	475.29	478.98	478.98	480.33	0.007513	5.16	167.94	62.84	0.99
20	TR200	944.66	475.29	479.16	479.16	480.6	0.007324	5.32	179.53	63.28	0.99
20	TR300	995.04	475.29	479.26	479.26	480.75	0.007277	5.42	185.78	63.52	0.99
19	TR2	352.66	474.42	476.77	476.53	477.39	0.005807	3.52	101.19	55.34	0.82
19	TR5	485.7	474.42	476.67	476.94	478	0.013118	5.12	95.61	54.71	1.22
19	TR10	574.78	474.42	476.88	477.19	478.36	0.012867	5.41	107.35	56.03	1.22
19	TR20	660.99	474.42	477.08	477.41	478.69	0.012557	5.64	118.58	57.25	1.23
19	TR50	773.69	474.42	477.31	477.7	479.09	0.012371	5.93	132.19	58.7	1.23
19	TR100	858.97	474.42	477.47	477.88	479.38	0.012322	6.15	141.84	59.7	1.24
19	TR200	944.66	474.42	477.63	478.08	479.66	0.012098	6.35	151.35	60.37	1.24
19	TR300	995.04	474.42	477.72	478.19	479.82	0.011986	6.46	156.8	60.74	1.25

River Sta	Profile	Q Total (m ³ /s)	Min Ch El (m)	W.S. Elev (m)	Crit W.S. (m)	E.G. Elev (m)	E.G. Slope (m/m)	Vel Chnl (m/s)	Flow Area (m ²)	Top Width (m)	Froude # Chl
18	TR2	352.66	473.93	475.94	476.16	476.96	0.012694	4.58	81.63	62.23	1.17
18	TR5	485.7	473.93	476.81	476.53	477.49	0.004928	3.8	138.3	68.85	0.78
18	TR10	574.78	473.93	477.14	476.79	477.83	0.004302	3.86	161.09	69.75	0.74
18	TR20	660.99	473.93	477.43	476.99	478.15	0.003927	3.95	181.47	70.54	0.72
18	TR50	773.69	473.93	477.77	477.23	478.54	0.003615	4.07	206.18	71.49	0.71
18	TR100	858.97	473.93	478.03	477.4	478.83	0.003432	4.16	224.2	72.21	0.7
18	TR200	944.66	473.93	478.24	477.56	479.08	0.003379	4.29	239.53	72.81	0.7
18	TR300	995.04	473.93	478.36	477.67	479.23	0.003349	4.36	248.38	73.16	0.7
17	TR2	352.66	472.95	475.44	475.44	476.11	0.009757	3.61	97.73	73.1	1
17	TR5	485.7	472.95	475.72	475.77	476.58	0.010081	4.11	118.3	74.79	1.04
17	TR10	574.78	472.95	475.88	475.96	476.87	0.01022	4.41	130.39	75.14	1.07
17	TR20	660.99	472.95	476.06	476.14	477.14	0.009793	4.6	143.72	75.52	1.06
17	TR50	773.69	472.95	476.63	476.36	477.5	0.005637	4.15	187.08	76.74	0.84
17	TR100	858.97	472.95	476.96	476.52	477.8	0.004569	4.06	212.67	77.46	0.77
17	TR200	944.66	472.95	477.28	476.68	478.09	0.003863	4.01	237.41	78.14	0.72
17	TR300	995.04	472.95	477.46	476.77	478.27	0.003553	3.99	251.53	78.53	0.7
16	TR2	352.66	472.19	474.55	474.69	475.42	0.013133	4.13	85.54	65.99	1.15
16	TR5	485.7	472.19	475.35	475.02	475.97	0.005066	3.5	139.66	68.96	0.77
16	TR10	574.78	472.19	475.79	475.24	476.38	0.003697	3.4	170.74	70.26	0.68
16	TR20	660.99	472.19	476.18	475.43	476.76	0.003038	3.39	197.95	71.63	0.63
16	TR50	773.69	472.19	476.64	475.68	477.23	0.002527	3.41	232.01	74.57	0.59
16	TR100	858.97	472.19	476.97	475.85	477.56	0.002269	3.44	256.66	75.84	0.57
16	TR200	944.66	472.19	477.28	476.01	477.89	0.002074	3.47	280.76	77.06	0.55
16	TR300	995.04	472.19	477.46	476.12	478.07	0.00198	3.49	294.64	77.75	0.54
15	TR2	352.66	471.24	474.18	473.91	474.92	0.005555	3.82	93.08	43.56	0.81
15	TR5	485.7	471.24	474.85	474.39	475.67	0.004341	4.02	122.98	45.55	0.75
15	TR10	574.78	471.24	475.24	474.68	476.12	0.003961	4.18	140.92	46.48	0.73
15	TR20	660.99	471.24	475.57	474.94	476.52	0.003805	4.36	156.27	50.33	0.73
15	TR50	773.69	471.24	475.94	475.27	477	0.003706	4.59	176.72	56	0.73
15	TR100	858.97	471.24	476.26	475.51	477.34	0.003477	4.68	194.53	56.89	0.72
15	TR200	944.66	471.24	476.56	475.84	477.68	0.003287	4.76	211.95	57.74	0.71
15	TR300	995.04	471.24	476.74	475.98	477.87	0.003193	4.81	221.94	58.23	0.7
14	TR2	352.66	469.99	473.85	473.51	474.69	0.004394	4.16	91.81	39.72	0.76
14	TR5	485.7	469.99	474.28	474.11	475.43	0.005089	4.9	109.65	42.59	0.84

Studio idraulico Fiume Isarco - Relazione idraulica
 fasi di cantiere

COMMESSA	LOTTO	CODIFICA	DOCUMENTO	REV.	FOGLIO
IBL1	10	D 11 RI	ID 10 02 002	A	38 di 42

River Sta	Profile	Q Total (m ³ /s)	Min Ch El (m)	W.S. Elev (m)	Crit W.S. (m)	E.G. Elev (m)	E.G. Slope (m/m)	Vel Chnl (m/s)	Flow Area (m ²)	Top Width (m)	Froude # ChI
14	TR10	574.78	469.99	474.55	474.46	475.88	0.00543	5.31	121.01	44.32	0.88
14	TR20	660.99	469.99	474.81	474.81	476.28	0.005524	5.61	132.97	45.62	0.9
14	TR50	773.69	469.99	475.16	475.16	476.77	0.005468	5.9	149.1	46.68	0.9
14	TR100	858.97	469.99	475.42	475.42	477.11	0.005407	6.1	161.08	47.45	0.91
14	TR200	944.66	469.99	475.66	475.66	477.45	0.005368	6.29	172.58	48.18	0.91
14	TR300	995.04	469.99	475.79	475.79	477.64	0.005348	6.39	179.18	48.6	0.92
13	TR2	352.66	470.49	473.67	473.44	474.41	0.004815	4.04	98.08	46.06	0.78
13	TR5	485.7	470.49	474.23	473.89	475.1	0.004453	4.4	124.31	47.36	0.78
13	TR10	574.78	470.49	474.56	474.18	475.51	0.004336	4.63	140.07	48.13	0.78
13	TR20	660.99	470.49	474.83	474.43	475.88	0.004367	4.87	153.18	48.76	0.79
13	TR50	773.69	470.49	475.15	474.75	476.33	0.004447	5.19	168.87	49.5	0.81
13	TR100	858.97	470.49	475.38	474.98	476.66	0.004511	5.41	180.06	50.02	0.82
13	TR200	944.66	470.49	475.6	475.2	476.97	0.004544	5.61	191.25	50.54	0.83
13	TR300	995.04	470.49	475.72	475.32	477.15	0.004586	5.73	197.32	50.82	0.84
12	TR2	352.66	470.11	472.3	472.32	473.16	0.009271	4.12	85.81	51.19	1.01
12	TR5	485.7	470.11	472.47	472.73	473.82	0.012767	5.15	94.56	51.55	1.2
12	TR10	574.78	470.11	472.61	472.98	474.24	0.014065	5.67	101.73	51.84	1.28
12	TR20	660.99	470.11	472.73	473.21	474.65	0.015173	6.13	108.26	52.11	1.34
12	TR50	773.69	470.11	472.91	473.49	475.14	0.015971	6.63	117.37	52.48	1.39
12	TR100	858.97	470.11	473.05	473.7	475.5	0.016238	6.94	124.53	52.76	1.42
12	TR200	944.66	470.11	473.18	473.91	475.83	0.016316	7.22	131.85	53.06	1.44
12	TR300	995.04	470.11	473.27	474.02	476.02	0.016231	7.36	136.37	53.23	1.44
11	TR2	352.66	468.7	470.96	471.3	472.4	0.014494	5.33	66.77	39.42	1.28
11	TR5	485.7	468.7	471.44	471.79	473.11	0.012336	5.76	85.91	41.03	1.22
11	TR10	574.78	468.7	471.72	472.1	473.54	0.011449	6.01	97.92	42	1.2
11	TR20	660.99	468.7	472.01	472.38	473.93	0.01055	6.19	109.95	42.96	1.18
11	TR50	773.69	468.7	472.35	472.72	474.41	0.009772	6.43	124.78	44.11	1.15
11	TR100	858.97	468.7	472.59	472.97	474.76	0.009368	6.61	135.41	44.91	1.14
11	TR200	944.66	468.7	472.83	473.22	475.09	0.008925	6.75	146.41	45.73	1.13
11	TR300	995.04	468.7	473.53	473.36	475.22	0.005366	5.88	179.16	47.9	0.9
10	TR2	352.66	467.35	470.22	470.44	471.61	0.010668	5.25	68.41	33.98	1.13
10	TR5	485.7	467.35	470.75	471.02	472.41	0.009603	5.76	87.23	36.24	1.11
10	TR10	574.78	467.35	471.13	471.37	472.88	0.008615	5.94	101.12	37.81	1.07
10	TR20	660.99	467.35	471.4	471.69	473.33	0.008542	6.25	111.38	38.94	1.08

Studio idraulico Fiume Isarco - Relazione idraulica
 fasi di cantiere

COMMESSA	LOTTO	CODIFICA	DOCUMENTO	REV.	FOGLIO
IBL1	10	D 11 RI	ID 10 02 002	A	39 di 42

River Sta	Profile	Q Total (m ³ /s)	Min Ch El (m)	W.S. Elev (m)	Crit W.S. (m)	E.G. Elev (m)	E.G. Slope (m/m)	Vel Chnl (m/s)	Flow Area (m ²)	Top Width (m)	Froude # Chl
10	TR50	773.69	467.35	471.8	472.1	473.84	0.007838	6.45	127.58	40.65	1.06
10	TR100	858.97	467.35	472.05	472.36	474.22	0.007701	6.67	137.85	41.7	1.06
10	TR200	944.66	467.35	472.29	472.62	474.58	0.007609	6.88	147.6	42.19	1.06
10	TR300	995.04	467.35	472.75	472.76	474.74	0.005808	6.44	167.45	43.17	0.94
9	TR2	352.66	466.08	469.19	469.65	470.92	0.01368	5.92	62.68	34.35	1.27
9	TR5	485.7	466.08	469.65	470.24	471.76	0.013192	6.59	79.06	37.19	1.29
9	TR10	574.78	466.08	469.93	470.57	472.25	0.012773	6.94	89.87	38.91	1.29
9	TR20	660.99	466.08	470.18	470.92	472.7	0.012616	7.27	99.54	40.39	1.3
9	TR50	773.69	466.08	470.48	471.27	473.23	0.012337	7.64	112.1	42.23	1.31
9	TR100	858.97	466.08	470.7	471.53	473.61	0.012192	7.9	121.24	43.52	1.31
9	TR200	944.66	466.08	470.89	471.77	473.98	0.012132	8.16	129.81	44.33	1.32
9	TR300	995.04	466.08	471.03	471.9	474.15	0.01176	8.22	136.06	44.85	1.31
8	TR2	352.66	464.35	468.07	467.97	469.2	0.006669	4.74	76.42	31.42	0.92
8	TR5	485.7	464.35	468.42	468.59	470.07	0.008371	5.75	87.47	32.47	1.05
8	TR10	574.78	464.35	468.73	468.95	470.6	0.008347	6.13	97.85	33.42	1.06
8	TR20	660.99	464.35	469.49	469.29	471.06	0.00542	5.66	124.3	36.23	0.89
8	TR50	773.69	464.35	470	469.75	471.64	0.00493	5.82	142.94	37.68	0.86
8	TR100	858.97	464.35	470.33	470.05	472.06	0.004757	5.99	155.7	39.64	0.86
8	TR200	944.66	464.35	470.74	470.37	472.47	0.004312	6.01	172.02	40.2	0.83
8	TR300	995.04	464.35	470.94	470.53	472.69	0.004166	6.06	180.4	40.48	0.82
7	TR2	352.66	464.15	467.58	467.49	468.44	0.006307	4.16	89.18	48.48	0.87
7	TR5	485.7	464.15	468.73	467.98	469.34	0.002757	3.59	148.63	55.33	0.61
7	TR10	574.78	464.15	469.33	468.27	469.9	0.002123	3.51	183.11	58.95	0.55
7	TR20	660.99	464.15	469.83	468.53	470.39	0.001793	3.48	213.14	59.7	0.52
7	TR50	773.69	464.15	470.43	468.84	470.99	0.001542	3.5	249.18	60.59	0.49
7	TR100	858.97	464.15	470.84	469.08	471.4	0.001433	3.55	273.77	61.19	0.48
7	TR200	944.66	464.15	471.27	469.34	471.83	0.001314	3.57	300.24	61.83	0.46
7	TR300	995.04	464.15	471.49	469.45	472.07	0.00127	3.6	314.28	62.16	0.46
6	TR2	352.66	464.54	467.57	466.69	467.91	0.002137	2.63	138.42	60.8	0.52
6	TR5	485.7	464.54	468.78	467.1	469.06	0.001055	2.39	214.25	63.42	0.39
6	TR10	574.78	464.54	469.39	467.37	469.67	0.000883	2.41	252.79	64.35	0.37
6	TR20	660.99	464.54	469.89	467.6	470.18	0.0008	2.47	285.41	65.12	0.36
6	TR50	773.69	464.54	470.49	467.87	470.8	0.000733	2.55	324.74	66.04	0.35
6	TR100	858.97	464.54	470.89	468.08	471.22	0.000706	2.62	351.66	66.66	0.34

Studio idraulico Fiume Isarco - Relazione idraulica
 fasi di cantiere

COMMESSA	LOTTO	CODIFICA	DOCUMENTO	REV.	FOGLIO
IBL1	10	D 11 RI	ID 10 02 002	A	40 di 42

River Sta	Profile	Q Total (m ³ /s)	Min Ch El (m)	W.S. Elev (m)	Crit W.S. (m)	E.G. Elev (m)	E.G. Slope (m/m)	Vel Chnl (m/s)	Flow Area (m ²)	Top Width (m)	Froude # Chl
6	TR200	944.66	464.54	471.33	468.27	471.67	0.000668	2.68	380.58	67.37	0.34
6	TR300	995.04	464.54	471.55	468.37	471.9	0.000656	2.72	395.94	67.78	0.34
5.9	TR2	352.66	464.17	467.6	466.37	467.86	0.001515	2.32	156.37	59.75	0.44
5.9	TR5	485.7	464.17	468.8	466.78	469.04	0.000874	2.19	229.3	61.56	0.35
5.9	TR10	574.78	464.17	469.4	467.07	469.65	0.000768	2.24	266.57	62.46	0.33
5.9	TR20	660.99	464.17	469.9	467.29	470.16	0.00072	2.31	298.17	63.21	0.32
5.9	TR50	773.69	464.17	470.5	467.57	470.78	0.000683	2.4	336.32	64.11	0.32
5.9	TR100	858.97	464.17	470.91	467.78	471.21	0.000671	2.48	362.45	64.75	0.32
5.9	TR200	944.66	464.17	471.34	467.96	471.65	0.000648	2.54	390.55	65.51	0.32
5.9	TR300	995.04	464.17	471.57	468.07	471.89	0.000642	2.58	405.5	65.92	0.31
5	TR2	352.66	462.47	467.44	465.76	467.76	0.001188	2.56	146.62	44.75	0.41
5	TR5	485.7	462.47	468.64	466.3	468.97	0.000863	2.6	204.53	49.97	0.37
5	TR10	574.78	462.47	469.23	466.62	469.58	0.000808	2.71	234.31	50.71	0.36
5	TR20	660.99	462.47	469.72	466.93	470.1	0.00079	2.83	259.29	51.31	0.36
5	TR50	773.69	462.47	470.31	467.3	470.72	0.00078	2.99	289.31	52.04	0.37
5	TR100	858.97	462.47	470.7	467.54	471.14	0.000785	3.11	309.71	52.52	0.37
5	TR200	944.66	462.47	471.11	467.81	471.58	0.000777	3.21	331.87	53.85	0.37
5	TR300	995.04	462.47	471.33	467.99	471.82	0.000779	3.28	343.73	54.62	0.37
4	TR2	352.66	461.13	467.35	464.9	467.61	0.000701	2.46	166.33	39.73	0.34
4	TR5	485.7	461.13	468.54	465.51	468.85	0.00063	2.66	215.5	41.95	0.33
4	TR10	574.78	461.13	469.12	465.87	469.47	0.000646	2.85	239.83	42.53	0.34
4	TR20	660.99	461.13	469.59	466.19	469.98	0.000675	3.04	259.97	43.01	0.35
4	TR50	773.69	461.13	470.15	466.55	470.6	0.000714	3.27	284.07	43.57	0.36
4	TR100	858.97	461.13	470.5	466.86	471.01	0.00077	3.5	300.53	46.62	0.38
4	TR200	944.66	461.13	470.91	467.18	471.46	0.000779	3.63	319.64	46.62	0.39
4	TR300	995.04	461.13	471.13	467.33	471.7	0.000791	3.71	329.54	46.62	0.39
3	TR2	352.66	461.81	467.3	464.39	467.47	0.000454	1.95	199.85	46.47	0.27
3	TR5	485.7	461.81	468.51	464.93	468.72	0.000411	2.13	256.29	46.48	0.27
3	TR10	574.78	461.81	469.08	465.25	469.33	0.000449	2.35	286.89	56.71	0.28
3	TR20	660.99	461.81	469.55	465.55	469.83	0.00046	2.48	313.99	56.77	0.29
3	TR50	773.69	461.81	470.12	465.92	470.43	0.000477	2.65	346.16	56.84	0.3
3	TR100	858.97	461.81	470.52	466.2	470.86	0.000488	2.77	369.1	56.89	0.3
3	TR200	944.66	461.81	470.91	466.43	471.27	0.000499	2.89	390.89	56.94	0.31
3	TR300	995.04	461.81	471.12	466.57	471.5	0.000506	2.95	403.06	56.95	0.31

River Sta	Profile	Q Total (m ³ /s)	Min Ch El (m)	W.S. Elev (m)	Crit W.S. (m)	E.G. Elev (m)	E.G. Slope (m/m)	Vel Chnl (m/s)	Flow Area (m ²)	Top Width (m)	Froude # Chl
2	TR2	352.66	460.95	467.3	463.42	467.4	0.000212	1.46	270.09	49.95	0.19
2	TR5	485.7	460.95	468.52	463.86	468.64	0.000215	1.66	355.26	88.85	0.2
2	TR10	574.78	460.95	469.1	464.14	469.24	0.00022	1.77	413.7	108.9	0.2
2	TR20	660.99	460.95	469.59	464.38	469.74	0.000219	1.84	467.12	109.06	0.2
2	TR50	773.69	460.95	470.18	464.7	470.33	0.000219	1.92	530.75	109.06	0.21
2	TR100	858.97	460.95	470.59	464.92	470.75	0.000218	1.98	576.18	109.06	0.21
2	TR200	944.66	460.95	470.99	465.13	471.15	0.000218	2.03	619.5	109.06	0.21
2	TR300	995.04	460.95	471.21	465.26	471.38	0.000218	2.06	643.73	109.06	0.21
1	Bridge										
0.1	TR2	352.66	460.88	467.29	463.37	467.39	0.0002	1.41	266.5	53.05	0.18
0.1	TR5	485.7	460.88	468.48	463.84	468.6	0.0002	1.59	356.3	94.39	0.19
0.1	TR10	574.78	460.88	469.07	464.12	469.2	0.0002	1.68	417.42	110.36	0.19
0.1	TR20	660.99	460.88	469.57	464.37	469.71	0.0002	1.75	472.56	110.36	0.19
0.1	TR50	773.69	460.88	470.16	464.67	470.31	0.0002	1.83	537.89	110.36	0.2
0.1	TR100	858.97	460.88	470.59	464.89	470.74	0.0002	1.89	584.33	110.36	0.2
0.1	TR200	944.66	460.88	470.99	465.12	471.14	0.0002	1.94	628.45	110.36	0.2
0.1	TR300	995.04	460.88	471.21	465.25	471.37	0.0002	1.97	653.1	110.36	0.2
0.05	TR2	352.66	460.88	467.29	463.37	467.39	0.0002	1.41	266.43	48.43	0.18
0.05	TR5	485.7	460.88	468.48	463.85	468.6	0.0002	1.59	356.3	94.39	0.19
0.05	TR10	574.78	460.88	469.07	464.12	469.2	0.0002	1.68	417.42	110.36	0.19
0.05	TR20	660.99	460.88	469.57	464.37	469.71	0.0002	1.75	472.56	110.36	0.19
0.05	TR50	773.69	460.88	470.16	464.68	470.31	0.0002	1.83	537.89	110.36	0.2
0.05	TR100	858.97	460.88	470.59	464.91	470.74	0.0002	1.89	584.32	110.36	0.2
0.05	TR200	944.66	460.88	470.99	465.12	471.14	0.0002	1.94	628.45	110.36	0.2
0.05	TR300	995.04	460.88	471.21	465.25	471.37	0.0002	1.97	653.09	110.36	0.2

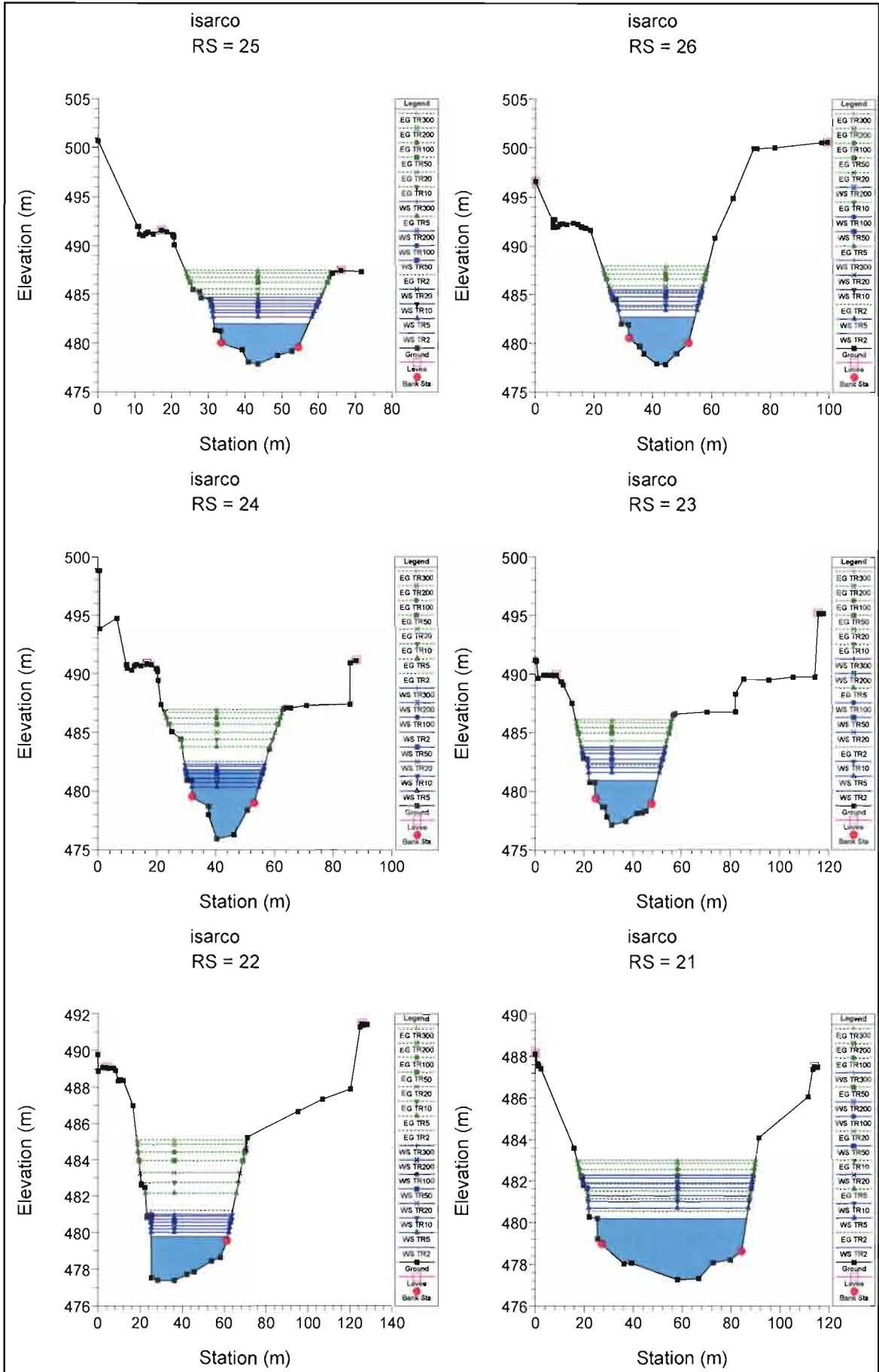


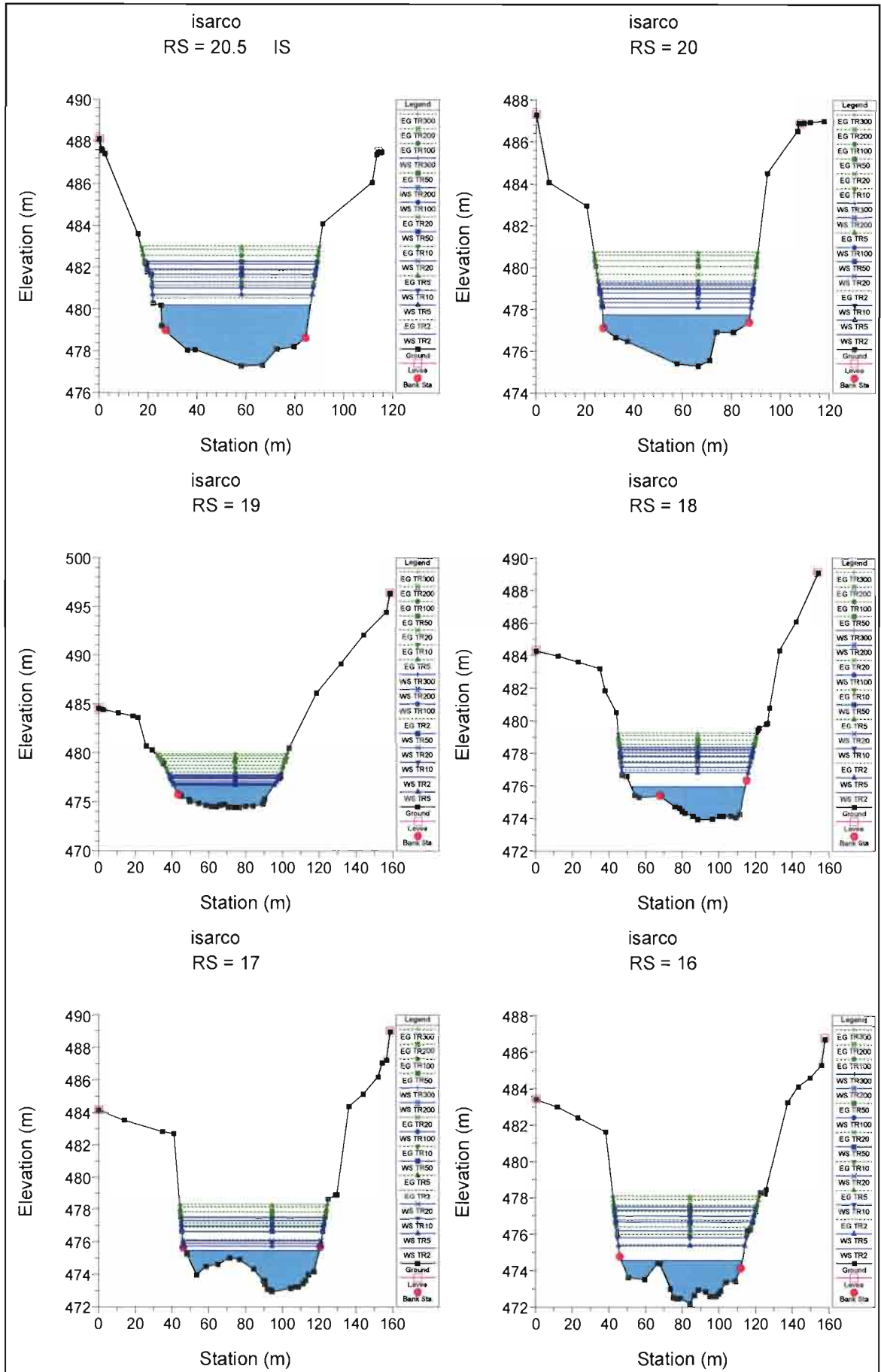
QUADRUPPLICAMENTO DELLA LINEA FORTEZZA - VERONA
ACCESSO SUD ALLA GALLERIA DI BASE DEL BRENNERO
QUADRUPPLICAMENTO DELLA LINEA FORTEZZA - VERONA
LOTTO 1: FORTEZZA – PONTE GARDENA

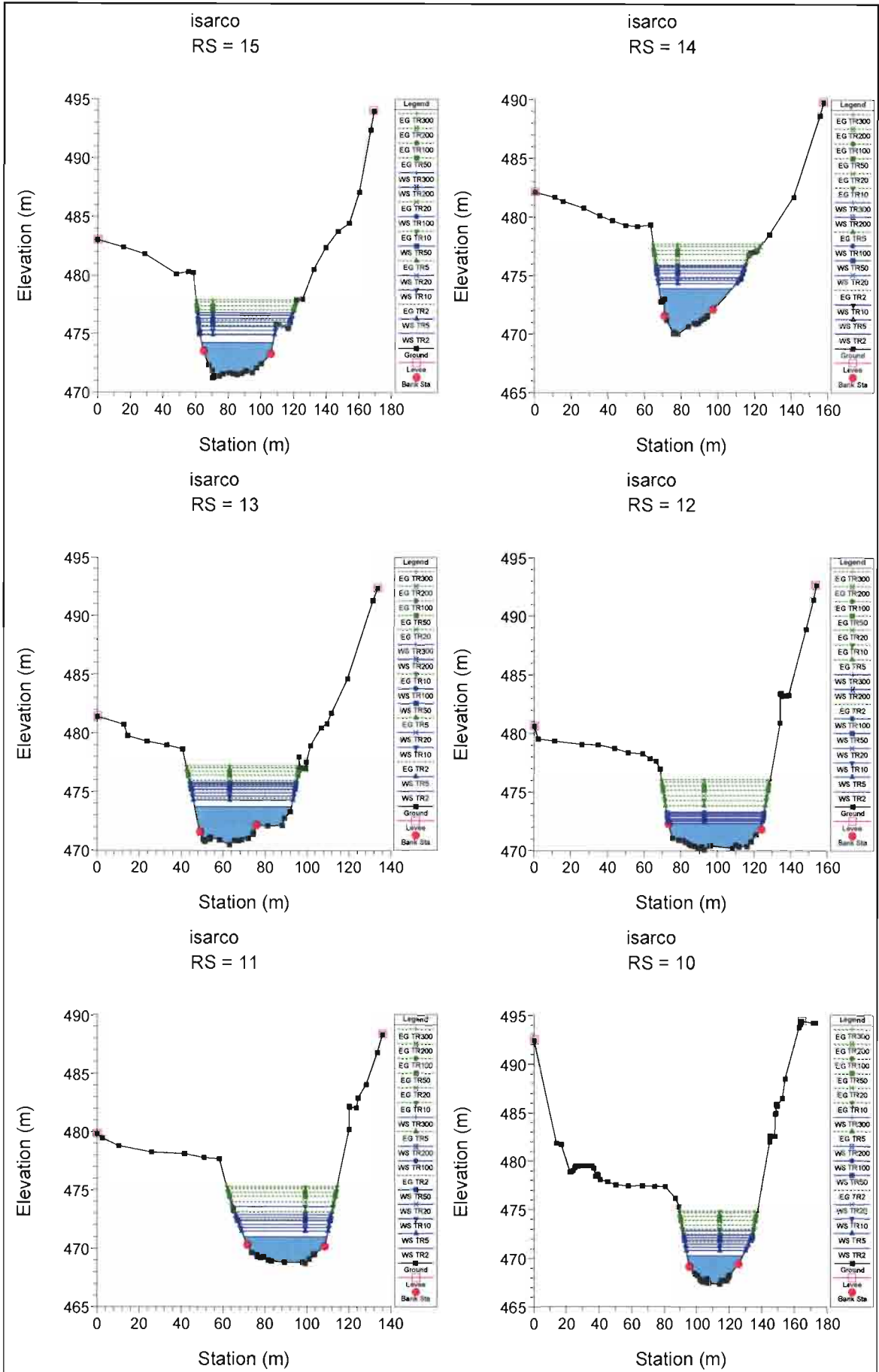
Studio idraulico Fiume Isarco - Relazione idraulica
fasi di cantiere

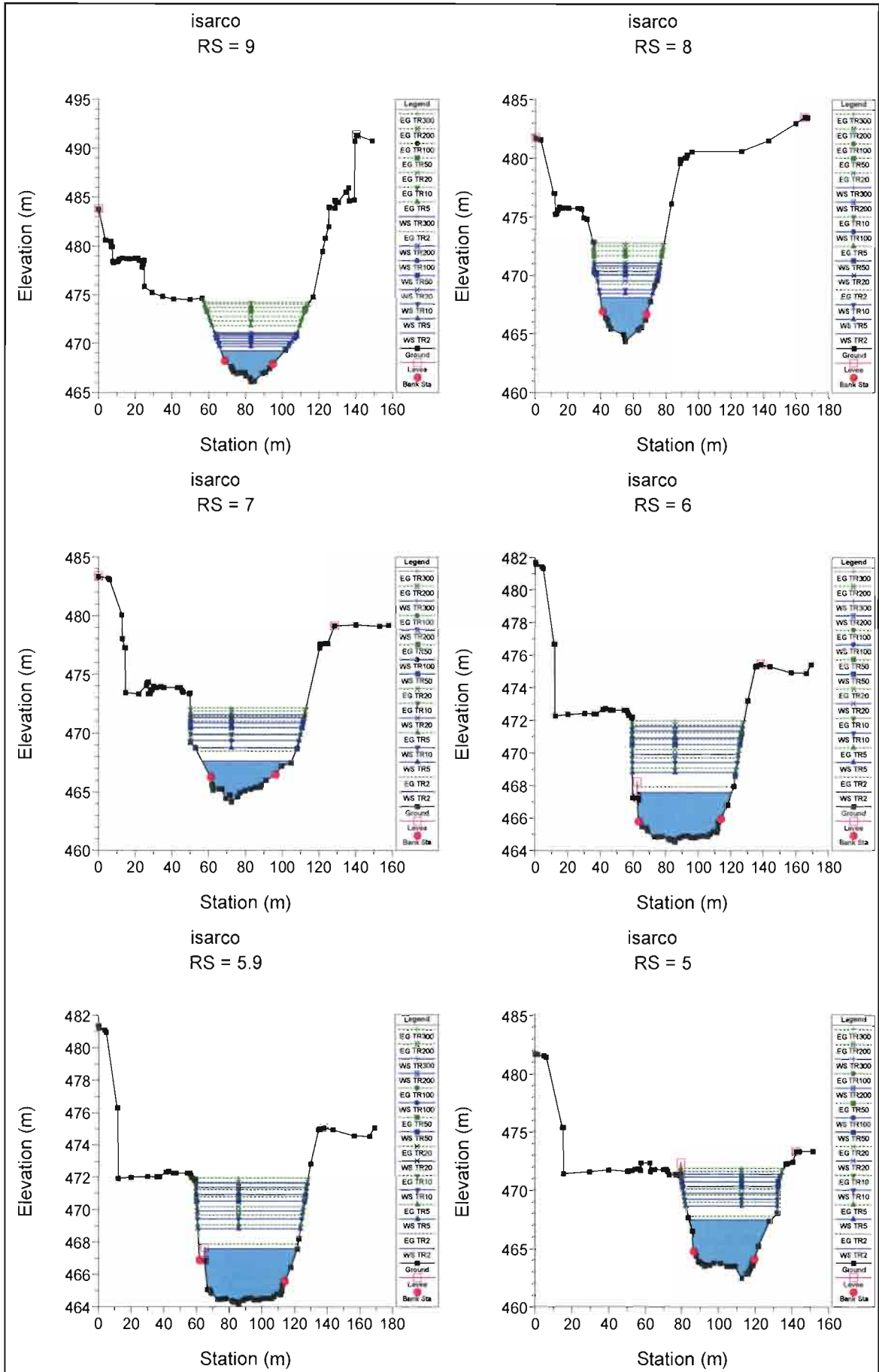
COMMESSA	LOTTO	CODIFICA	DOCUMENTO	REV.	FOGLIO
IBL1	10	D 11 RI	ID 10 02 002	A	42 di 42

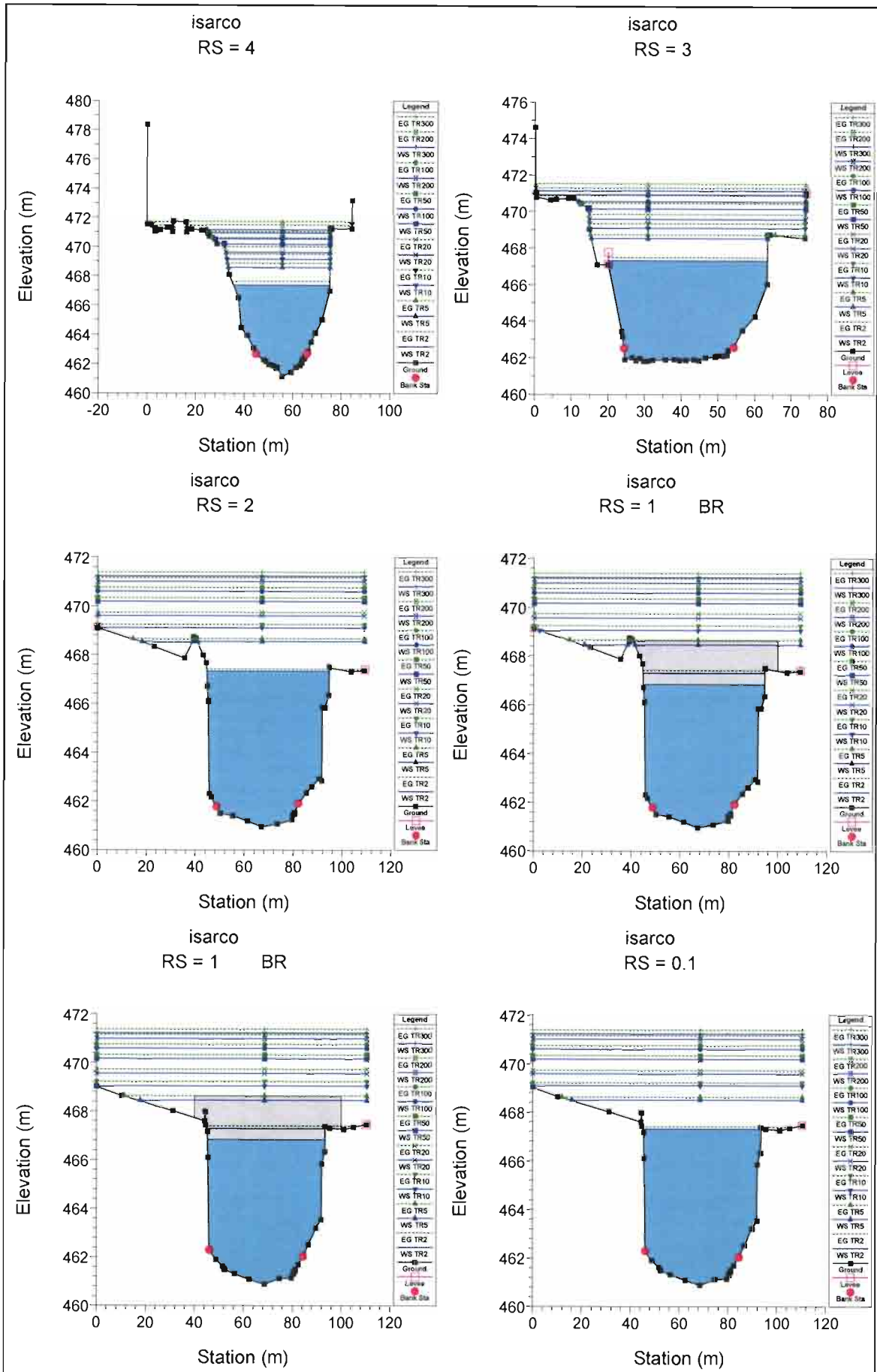
**APPENDICE D - RISULTATI GRAFICI DELLE SIMULAZIONI NUMERICHE
RELATIVE ALLA FASE DI CANTIERE**











isarco
RS = 0.05

